

Direktni pretvorniki

Pretvorniki **brez galvanske lo** itve med vhodom in izhodom:

- direktni enosmerni pretvorniki za eno in ve kvadrantno obratovanje
- lastno vodeni usmerniki in razsmerniki

Prednosti:

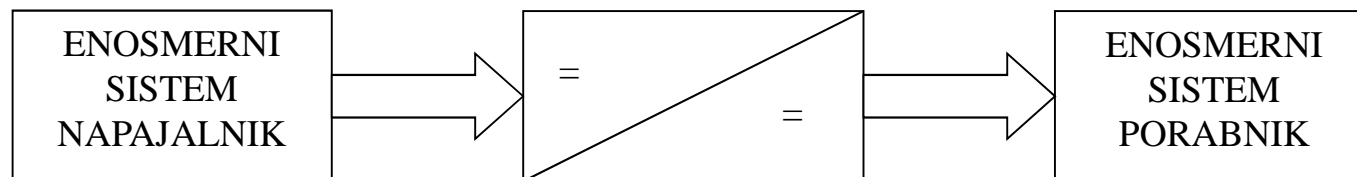
- majhna teža, volumen
- dobro razmerje med instalirano preklopno mojo in maksimalno preneseno mojo

$$P_p = \sum_{v=1}^n U_{pv} \cdot I_{pv}$$

Pri tem je:

n	število stikalnih ventilov
U_p	teoretična maksimalna napetost na ventili
I_p	teoretični maksimalen tok ventila

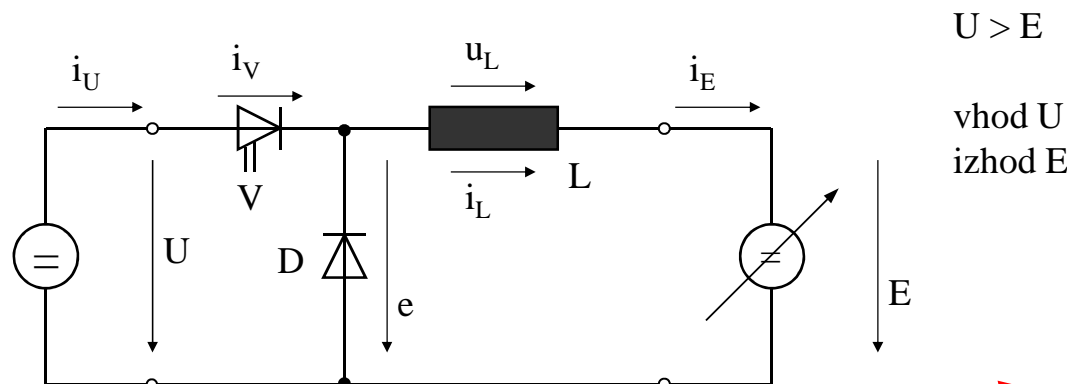
Direktni enosmerni presmernik (DC-DC pretvorniki)



Slika 11.1: Enosmerni nastavljajnik

Vezja za enokvadrantno delovanje

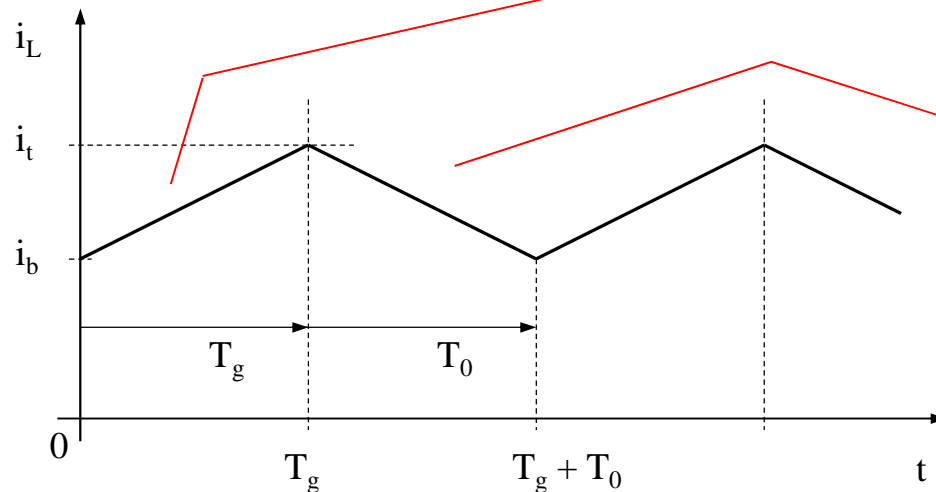
- **prevornik navzdol** (nem. Tiefsetzsteller, angl. Buck converter)
- **prevornik navzgor** (nem. Hochsetzsteller, angl. Boost converter)
- **zaporni prevornik ali prevornik dol-gor** (nem. Sperrsteller ali Hoch und Tiefsetzsteller, angl. Flyback ali Buck-Boost-Converter)



Slika 11.2: Shema pretvornika navzdol

$$i_L = i_b + \frac{1}{L} \cdot \int_{t=0}^t (U - E) dt$$

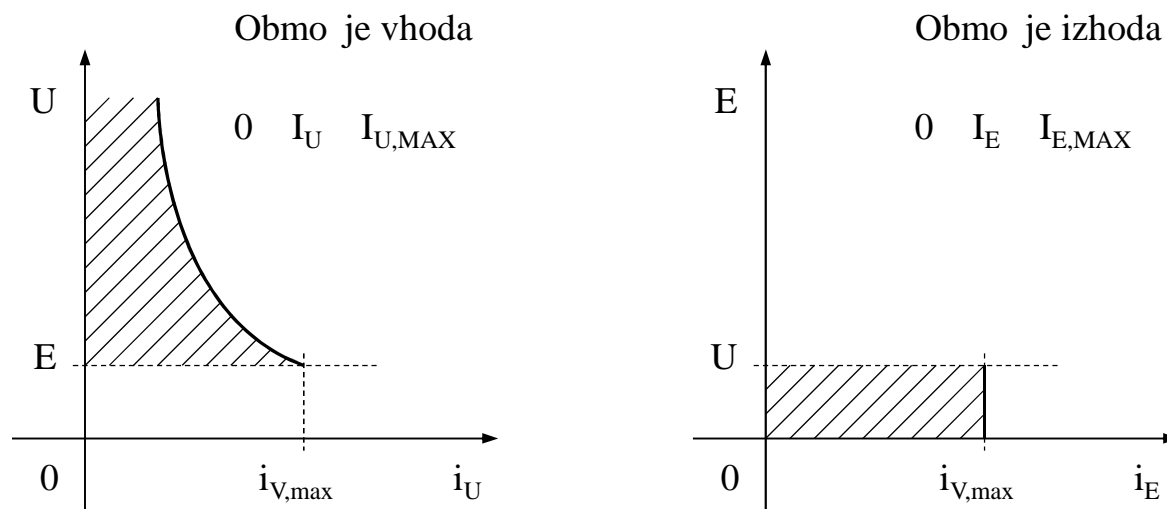
$$e = e_{\max} = U$$



$$i_L = i_t + \frac{1}{L} \cdot \int_{t=T_g}^t (-E) dt$$

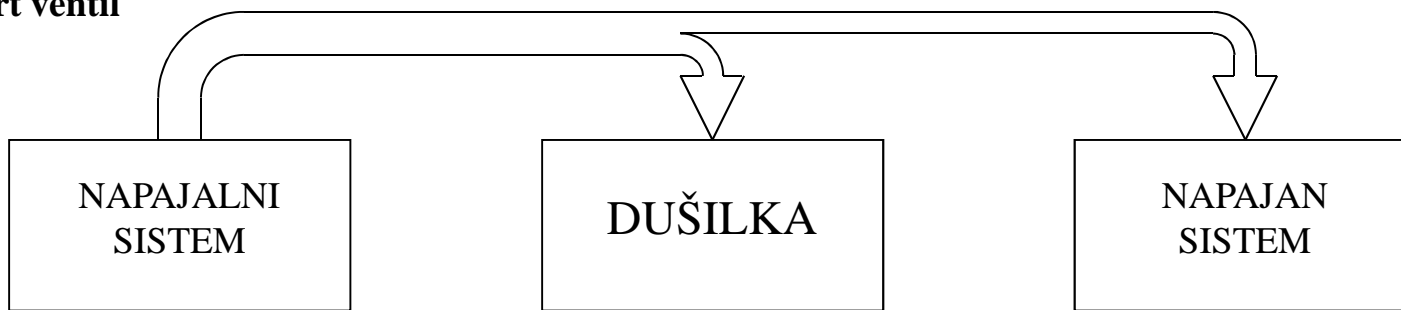
$$e = e_{\min} = 0$$

Slika 11.3: asovni potek toka

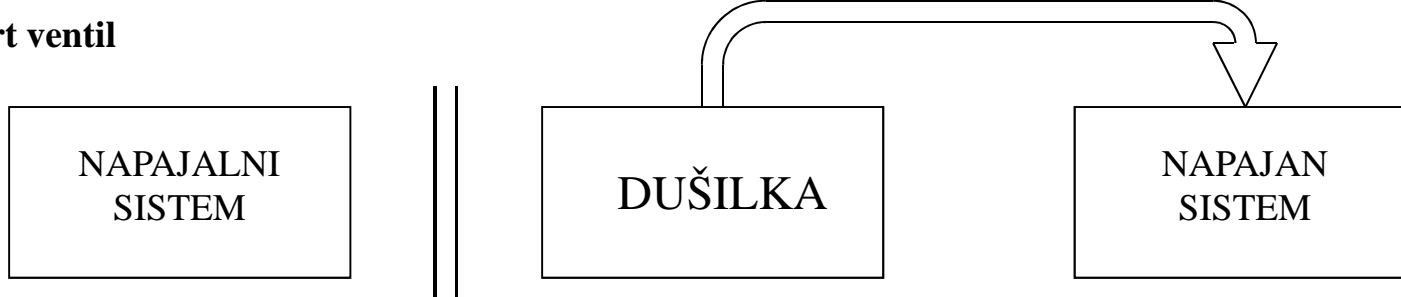


Slika 11.4: Nastavitevno obmo je (za $i_L \approx I_L$ in $\hat{i}_V \leq \hat{i}_{V,\max}$)

odprt ventil

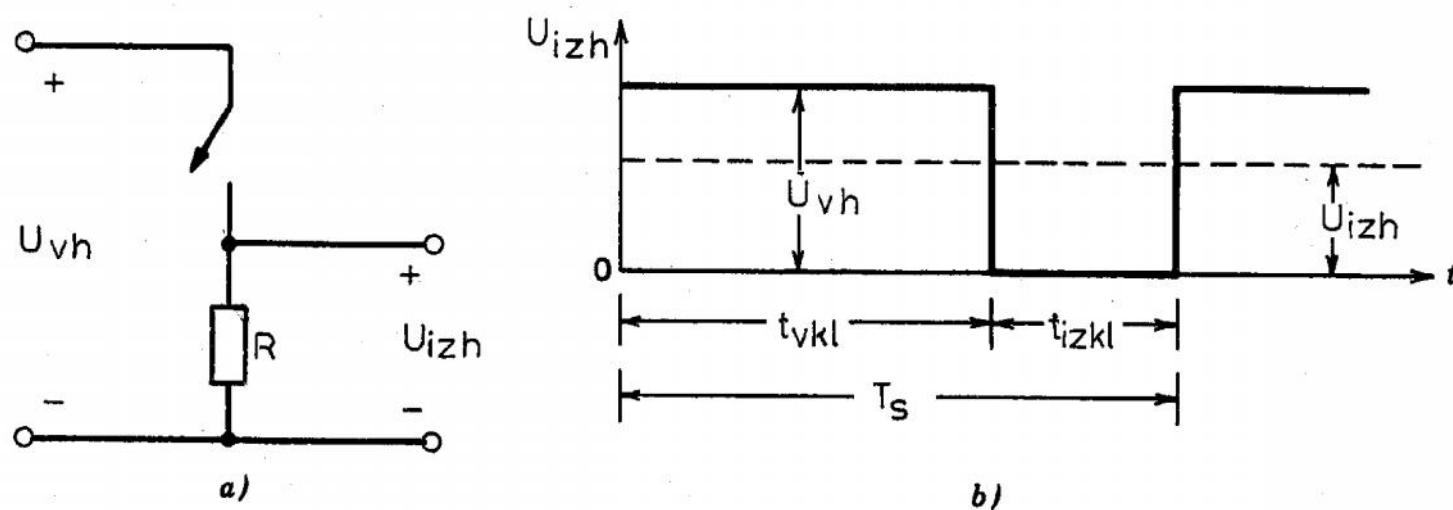


zaprt ventil



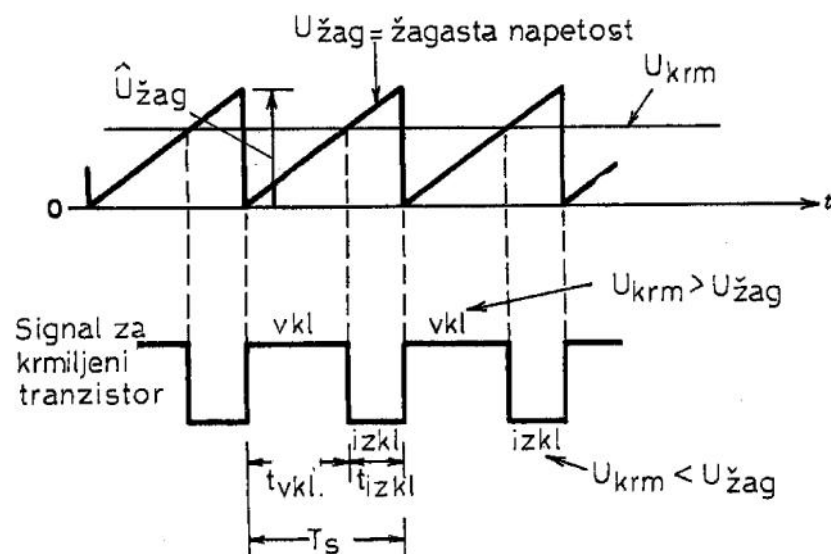
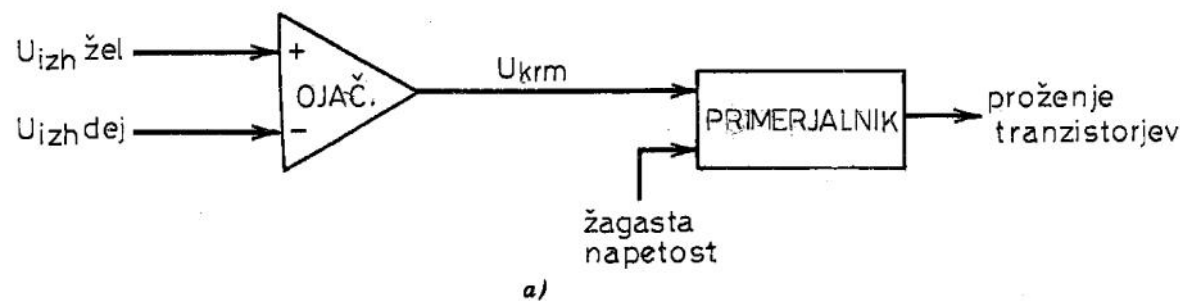
Slika 11.5: Pretok energije v odprtem in zaprtem stanju ventila

Krmiljenje enosmernega presmernika



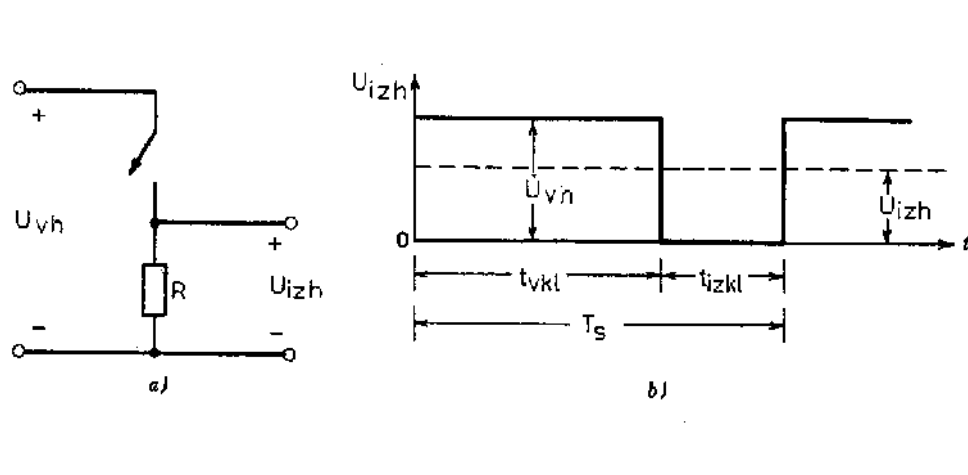
Pri pulzno-širinskem načinu proženja stikal (ang. PWM - Pulse-Width Modulation) je stikalna frekvence f_s konstantna. To pomeni, da je perioda enaka $T_s = t_{vk} + t_{izk}$.

Delovno razmerje določimo kot: $U = \frac{t_{vk}}{T_s}$



$$U = \frac{t_{vkl}}{T_S} = \frac{u_{krm}}{\hat{U}_{žag}}$$

Princip pulzno-širinskega proženja stikal

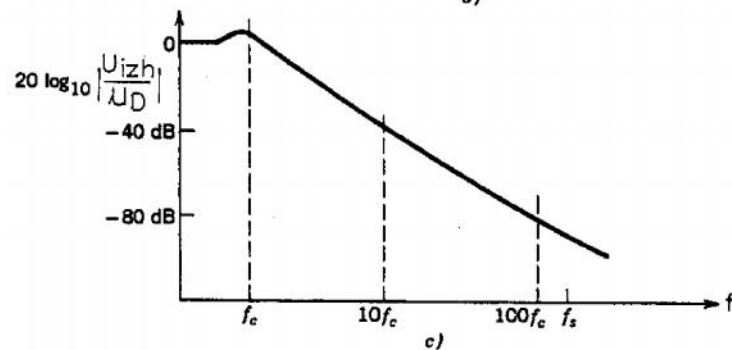
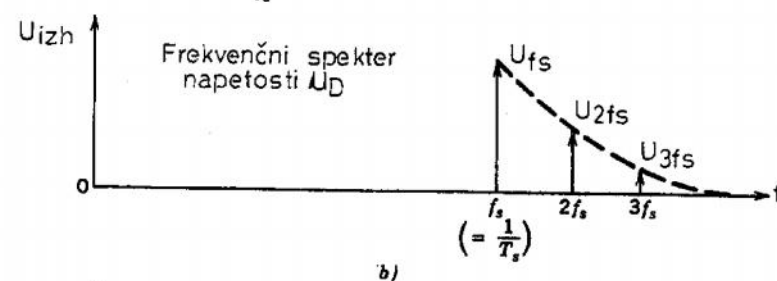
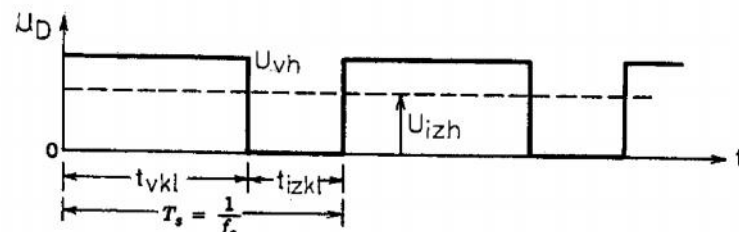
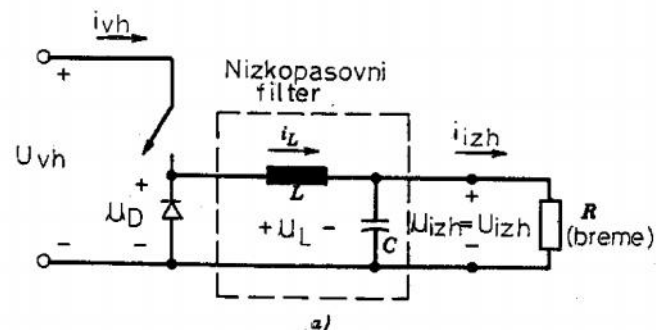


$$U_{izh} = \frac{1}{T_s} \int_0^{T_s} u_{izh}(t) dt = \frac{1}{T_s} \left(\int_0^{t_{vkl}} U_{vh} dt + \int_{t_{vkl}}^{T_s} 0 dt \right) = \frac{t_{vkl}}{T_s} \cdot U_{vh} = u \cdot U_{vh}$$

$$U_{izh} = \frac{U_{vh}}{\hat{U}_{zag}} \cdot u_{krm} = K \cdot u_{krm}; \quad K = \frac{U_{vh}}{\hat{U}_{zag}}$$

V praksi se izkaže, da ima predstavljeno vezje dve pomembni pomanjkljivosti:

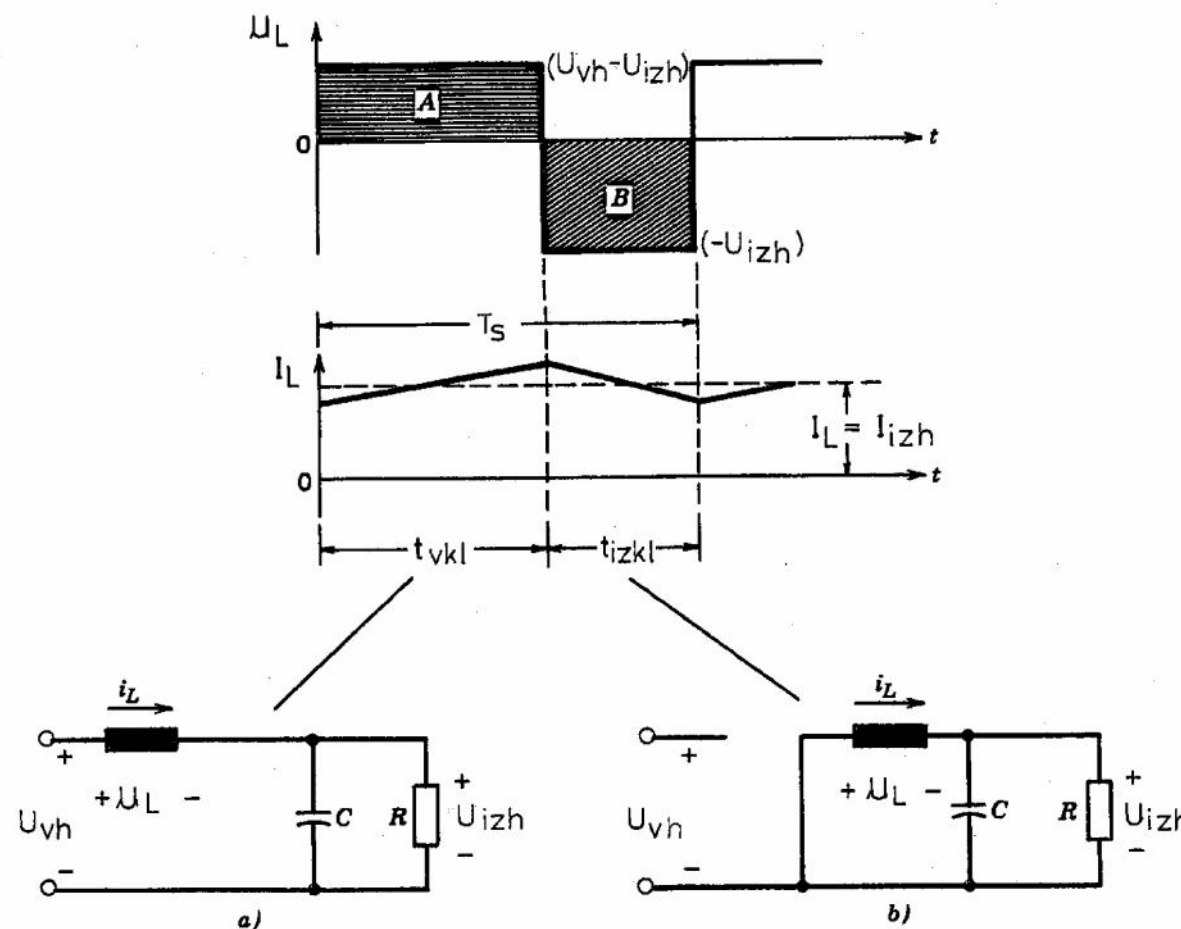
- Breme je največkrat induktivnega značaja. To pomeni, da se na stikalu sprošča induktivna energija, kar bi povzročilo uničenje.
- Izhodna napetost zavzema dva nivoja (0 V in U_{vh}), kar povzroča visoko vsebnost višjih harmonskih komponent v napetosti na bremenu.



Vsak pol: -6 dB/oktavo
-20 dB/dekado
Vsaka ni la: +6 dB/oktavo
+20 dB/dekado

Delovanje pretvornika pri zveznem toku skozi dušilko

$$u_L = U_{vh} - U_{izh}$$



Ko stikalo izklopimo, te e tok zaradi inducirane napetosti še naprej v isti smeri in velja:

$$u_L = -U_{izh}$$

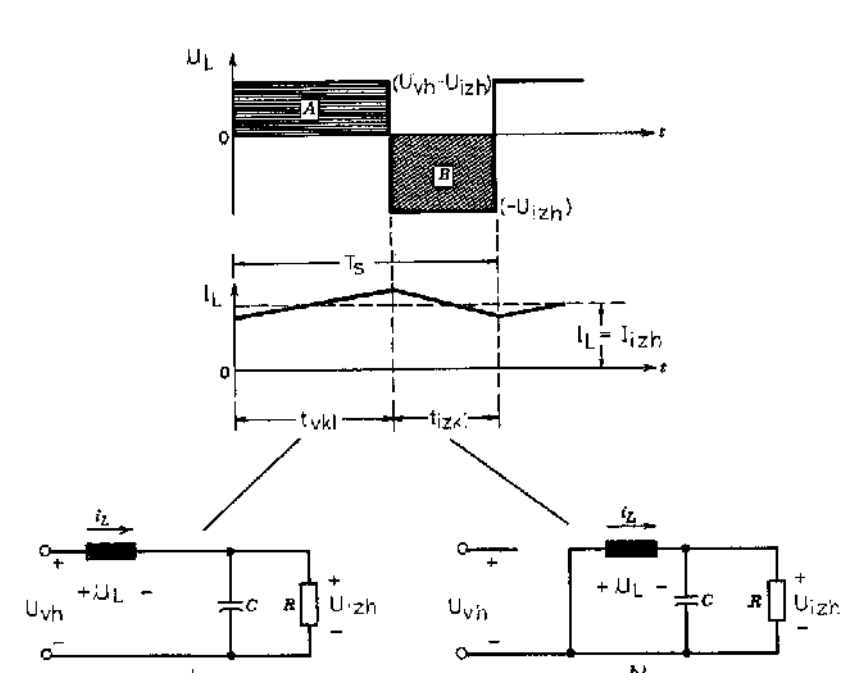
V ustaljenem stanju je srednja vrednost napetosti na dušilki enaka ni :

$$\int_0^{T_s} u_L dt = \int_0^{t_{vkl}} u_L dt + \int_{t_{vkl}}^{T_s} u_L dt = 0$$

To pomeni, da sta površini A in B enaki:

$$(U_{vh} - U_{izh}) \cdot t_{vkl} = U_{izh} \cdot (T_s - t_{vkl})$$

$$\frac{U_{izh}}{U_{vh}} = \frac{t_{vkl}}{T_s} = u$$



V tem načinu delovanja je izhodna napetost prenosorazmerna delovnemu razmerju u pri konstantni vhodni napetosti U_{vh} . Ostale veličine torej ne vplivajo na izhodno napetost, zato lahko zapišemo:

$$U_{izh} = \frac{U_{vh} \cdot t_{vkl} + 0 \cdot t_{izkl}}{T_s}$$

$$\frac{U_{izh}}{U_{vh}} = \frac{t_{vkl}}{T_s} = u$$

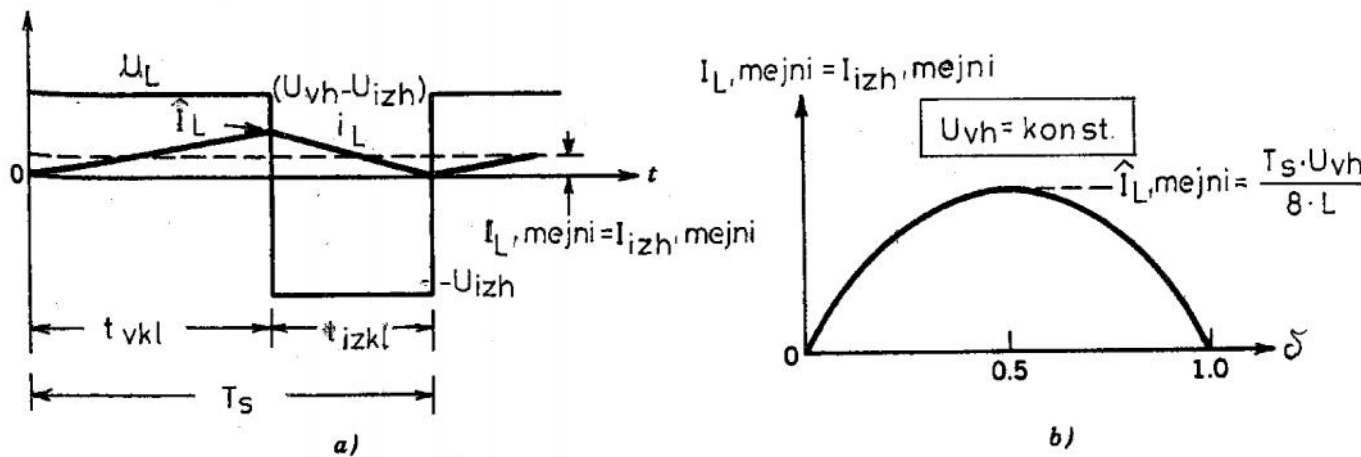
če zanemarimo izgube v elementih vezja, je vhodna mreža vezja enaka izhodni:

$$P_{vh} = P_{izh}$$

$$U_{vh} \cdot I_{vh} = U_{izh} \cdot I_{izh}$$

$$\frac{I_{izh}}{I_{vh}} = \frac{U_{vh}}{U_{izh}} = \frac{1}{u}$$

Razmere v vezju na meji med zveznim in nezveznim delovanjem



V tem primeru je srednja vrednost toka skozi dušilko enaka:

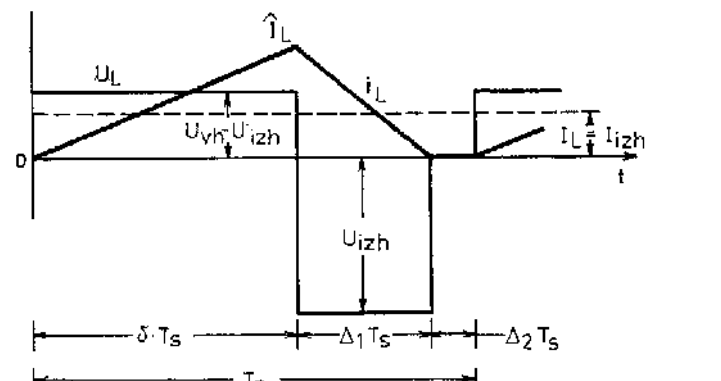
$$I_{L, \text{mejni}} = \frac{1}{2} \hat{I}_L = \frac{t_{vkl}}{2 \cdot L} (U_{vh} - U_{izh}) = \frac{U \cdot T_S}{2 \cdot L} (U_{vh} - U_{izh}) = I_{izh, \text{mejni}}$$

Delovanje vezja v podroju trganega toka

V mnogih tehničkih rešitvah je vhodna napetost konstantna, izhodno pa spremojamo z delovnim razmerjem u .

Na meji med zveznim in nezveznim delovanjem je srednja vrednost toka skozi dušilko:

$$I_{L,mejni} = \frac{T_s \cdot U_{vh}}{2 \cdot L} \cdot u \cdot (1-u)$$



Izhodni tok, ki ga moramo zagotoviti za zvezen na in delovanja pretvornika je največji pri $u = 0,5$:

$$\hat{I}_{L,mejni} = \frac{T_s \cdot U_{vh}}{8 \cdot L}$$

$$I_{L,mejni} = 4 \cdot \hat{I}_{L,mejni} \cdot u (1-u)$$

Tudi v tem primeru je integral napetosti na dušilki preko ene periode enak ni :

$$(U_{vh} - U_{izh}) \cdot u \cdot T_s + (-U_{izh}) \Delta_1 \cdot T_s = 0$$

$$\frac{U_{izh}}{U_{vh}} = \frac{u}{u + \Delta_1}$$

pri emer velja: $u + \Delta_1 < 1,0$

$$\hat{I}_L = \frac{U_{izh}}{L} \cdot \Delta_1 \cdot T_s$$

$$I_{izh} = \hat{I}_L \frac{(u + \Delta_1)T_s}{2} = \frac{U_{vh} \cdot T_s}{2 \cdot L} (u + \Delta_1) \Delta_1$$

$$= \frac{U_{vh} \cdot T_s}{2 \cdot L} \cdot u \cdot \Delta_1$$

$$= 4 \cdot \hat{I}_{L,mejni} \cdot u \cdot \Delta_1$$

e iz zgornje ena be izrazimo Δ_1 :

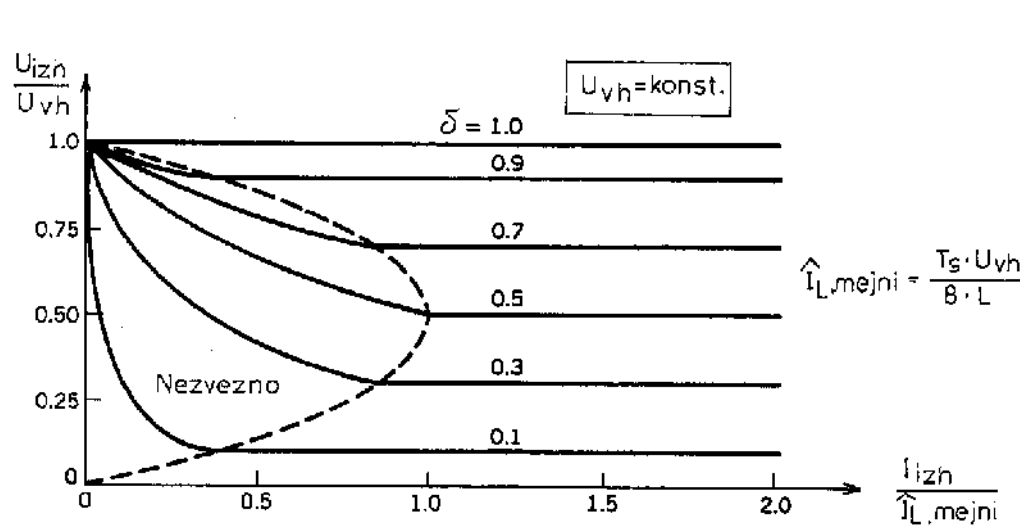
$$\Delta_1 = \frac{I_{izh}}{4 \cdot \hat{I}_L \cdot u}$$

e zgornjo ena bo vstavimo v ena bo

$$\frac{U_{izh}}{U_{vh}} = \frac{u}{u + \Delta_1}$$

$$\frac{U_{izh}}{U_{vh}} = \frac{u^2}{u^2 + \frac{I_{izh}}{4 \cdot \hat{I}_{L,mejni}}}$$

Na spodnji sliki vidimo krivulje odvisnosti U_{izh}/U_{vh} od $I_{izh}/\hat{I}_{L,mejni}$, ki so posnete pri konstantni vhodni napetosti U_{vh} in za različne vrednosti delovnega razmerja u . Meja med zveznim in nezveznim delovanjem pretvornika je prikazana s šrakano linijo.



Delovanje pretvornika pri trganem toku s konstantno izhodno napetostjo

Pri delovanju pretvornika, kjer se vhodna napetost spreminja, dosežemo konstantno izhodno napetost z nastavitevijo ustreznega delovnega razmerja u .

Ker velja ena $ba U_{vh} = U_{izh}/u$, je srednja vrednost toka skozi dušilko pri delovanju pretvornika na meji med zveznim in nezveznim delovanjem dolo ena z ena bo:

$$I_{L,mejni} = \frac{T_s \cdot U_{izh}}{2 \cdot L} (1 - u)$$

Iz ena be je razvidno, da pri konstantni vrednosti izhodne napetosti U_{izh} , dosežemo maksimalno vrednost $\hat{I}_{L,mejni}$ pri $u = 0$:

$$\hat{I}_{L,mejni} = \frac{T_s \cdot U_{izh}}{2 \cdot L}$$

V praksi je delovanje pri $u = 0$ nemogočo, saj bi potrebovali neskončno visoko vhodno napetost U_{vh}

Iz zadnjih dveh enačb lahko dobimo:

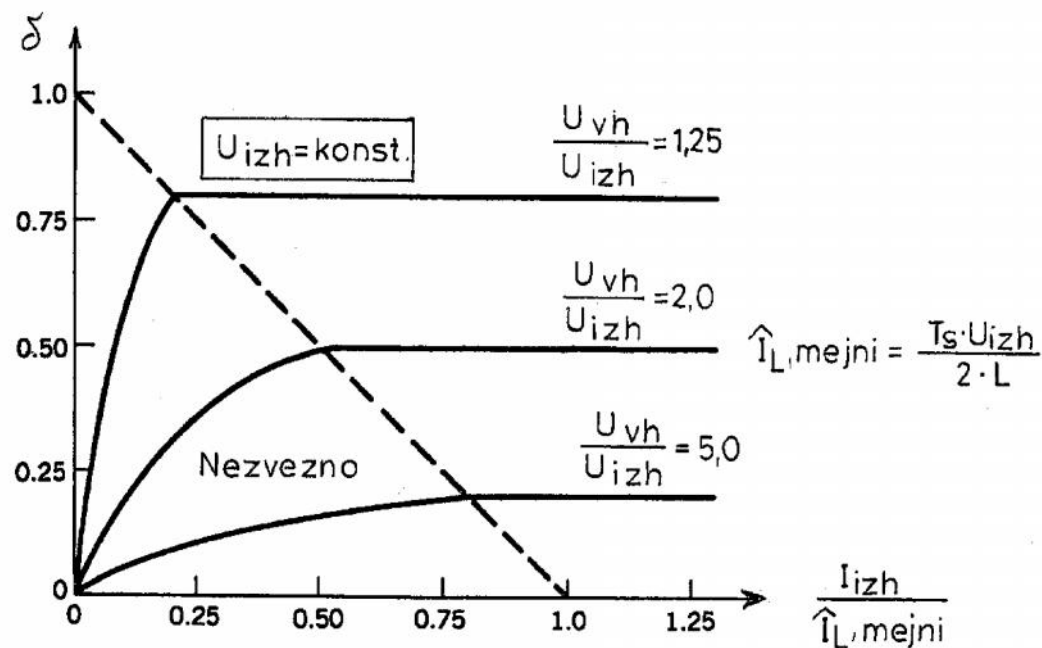
$$I_{L,mejni} = \hat{I}_{L,mejni} \cdot (1 - u)$$

Za delovanje pretvornika, kjer je U_{izh} konstantna, je dobro poznati odvisnost delovnega razmerja u od $I_{izh} / \hat{I}_{L,mejni}$

Če uporabimo enačbo $\frac{U_{izh}}{U_{vh}} = \frac{u}{u + \Delta_1}$ in $I_{izh} = 4 \cdot \hat{I}_{L,mejni} \cdot u \cdot \Delta_1$, ki veljata za nevezno

delovanje ne glede na to katera napetost je konstantna (U_{vh} ali U_{izh}), potem lahko izračunamo:

$$u = \frac{U_{izh}}{U_{vh}} \sqrt{\frac{\frac{I_{izh}}{\hat{I}_{L,mejni}}}{1 - \frac{U_{izh}}{U_{vh}}}}$$



Karakteristike pretvornika navzdol pri konstantni izhodni napetosti U_{izh} .

Valovitost izhodne napetosti

Valovitost napetosti na kondenzatorju oziroma na izhodu pretvornika ($U_{\text{maks}} - U_{\text{min}}$) lahko izračuna s pomočjo ene be:

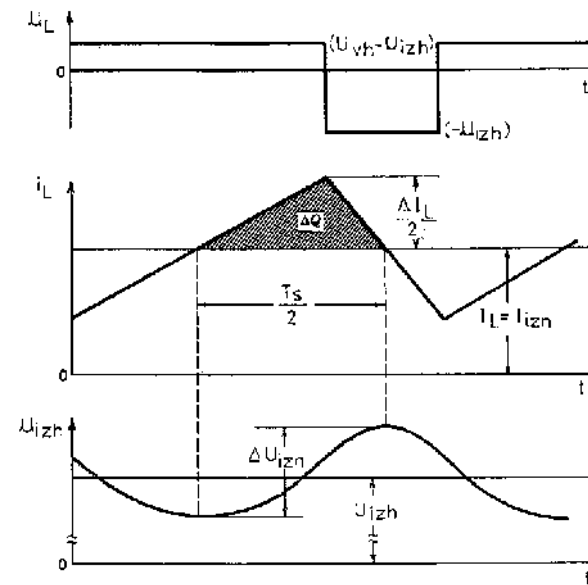
$$\Delta U_{izh} = \frac{\Delta Q}{C} = \frac{1}{C} \cdot \frac{1}{2} \cdot \frac{\Delta I_L}{2} \cdot \frac{T_S}{2}$$

Za t_{izkl} zapišemo:

$$\Delta I_L = \frac{U_{izh}}{L} (1-u) \cdot T_S$$

E vstavimo ΔI_L iz druge ene be v prvo eno bo, dobimo:

$$\Delta U_{izh} = \frac{T_S}{8C} \cdot \frac{U_{izh}}{L} (1-u) \cdot T_S$$



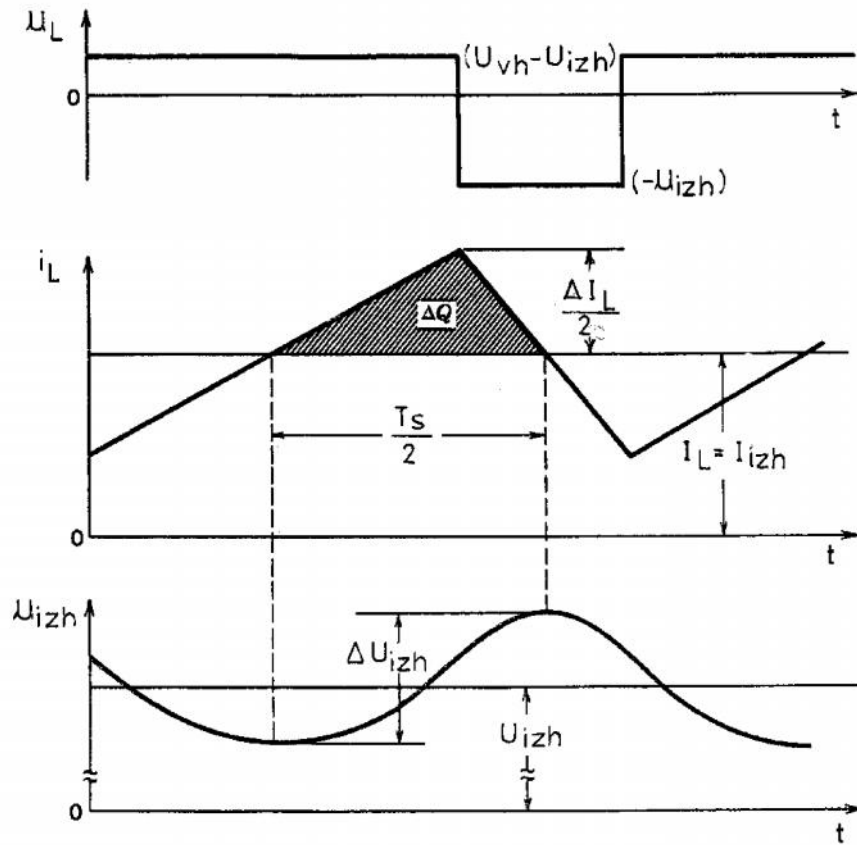
$$\frac{\Delta U_{izh}}{U_{izh}} = \frac{1}{8} \cdot \frac{T_s^2(1-u)}{LC} = \frac{f^2}{2} (1-u) \left(\frac{f_c}{f_s} \right)^2$$

kjer f_s stikalna frekvenca, f_c pa je:

$$f_c = \frac{1}{2f \sqrt{LC}}$$

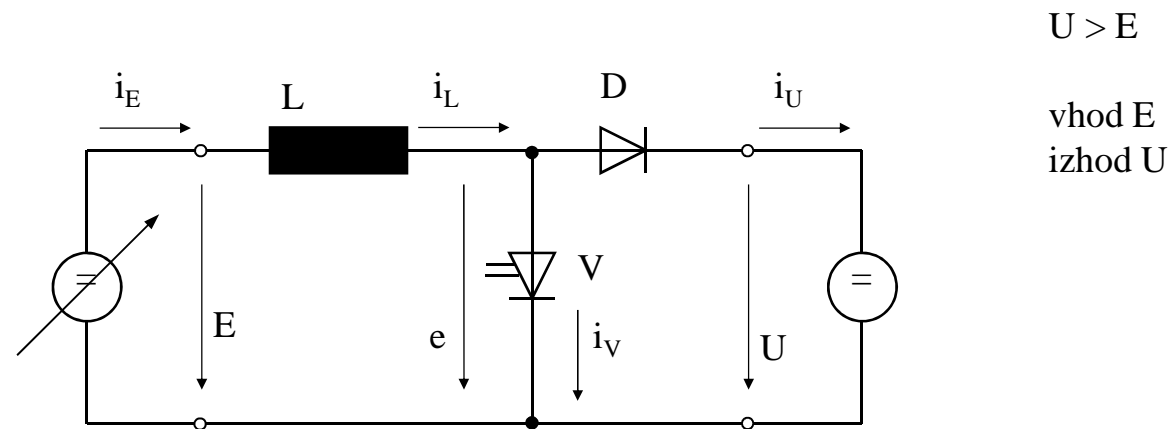
Iz zgornje ena je razvidno, da lahko valovitost izhodne napetosti zelo zmanjšamo, e izberemo lastno frekvenco nizkopasovnega filtra tako, da je

$$f_c \ll f_s$$

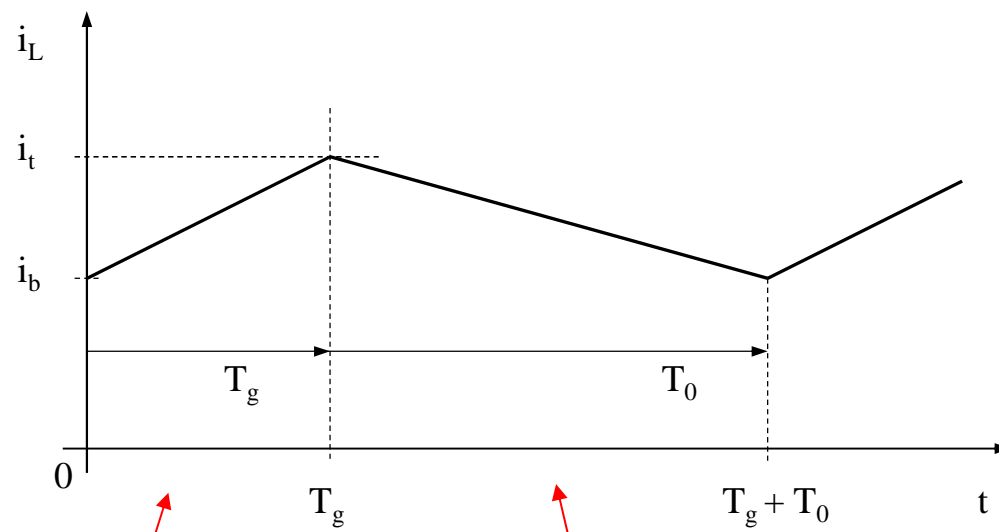


Valovitost napetosti na izhodu pretvornika navzdol

Pretvornik navzgor



Slika 11.6: Shema pretvornika navzgor

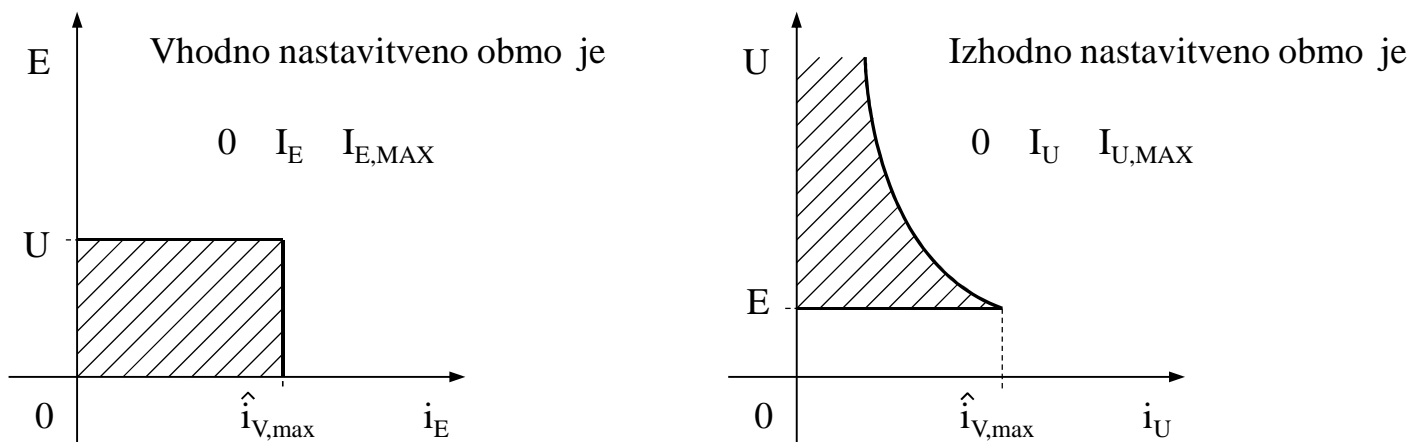


$$i_L = \frac{1}{L} \cdot \int_{t=0}^t E dt$$

$$i_L = i_t + \frac{1}{L} \cdot \int_{t=T_g}^t (E - U) dt$$

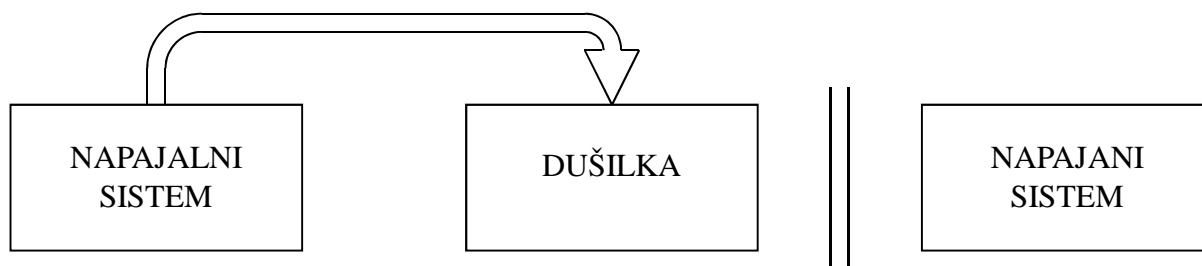
$$i_L = i_b + \frac{1}{L} \cdot \int_{t=0}^t E dt$$

Slika 11.7: asovni potek toka

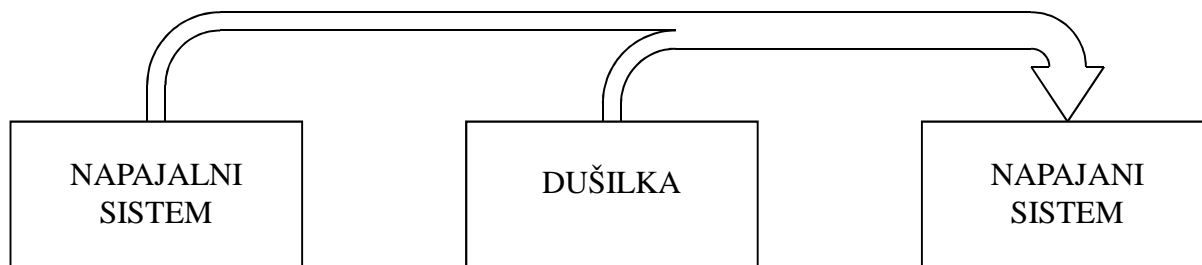


Slika 11.8: Nastavitevno obmo je (za $i_L \approx I_L$ in $\hat{i}_V \leq \hat{i}_{V,max}$)

Odprt ventil

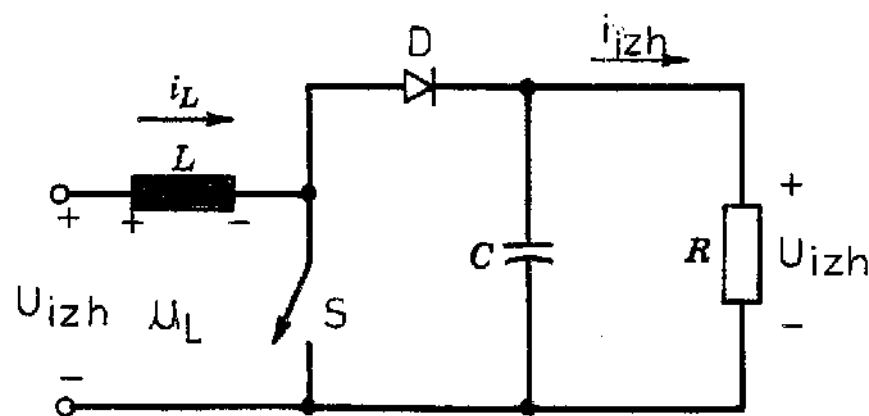


Zaprt ventil



Slika 11.9: Pretok energije v odprtem in zaprtem stanju ventila

Pretvornik navzgor



Principialna shema pretvornika navzgor

Pretvornik navzgor v zveznem načinu delovanja

Srednja vrednost napetosti na dušilki preko ene periode je enaka ni .

$$U_{vh} \cdot t_{vkl} + (U_{vh} - U_{izh}) \cdot t_{izkl} = 0$$

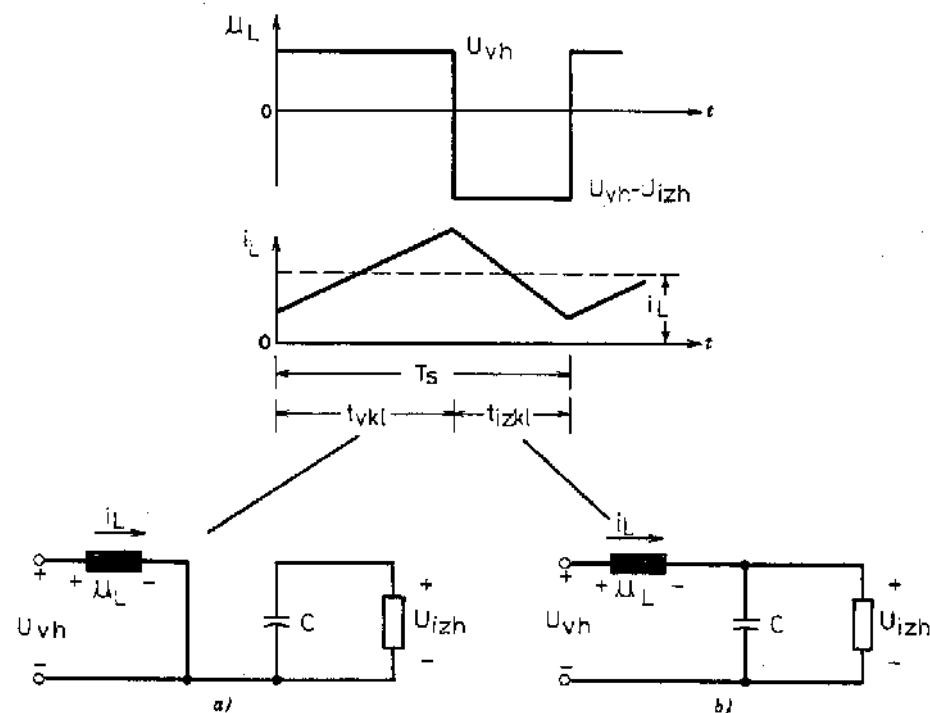
zgornjo ena bo preuredimo:

$$\frac{U_{izh}}{U_{vh}} = \frac{T_s}{t_{izkl}} = \frac{1}{1-u}$$

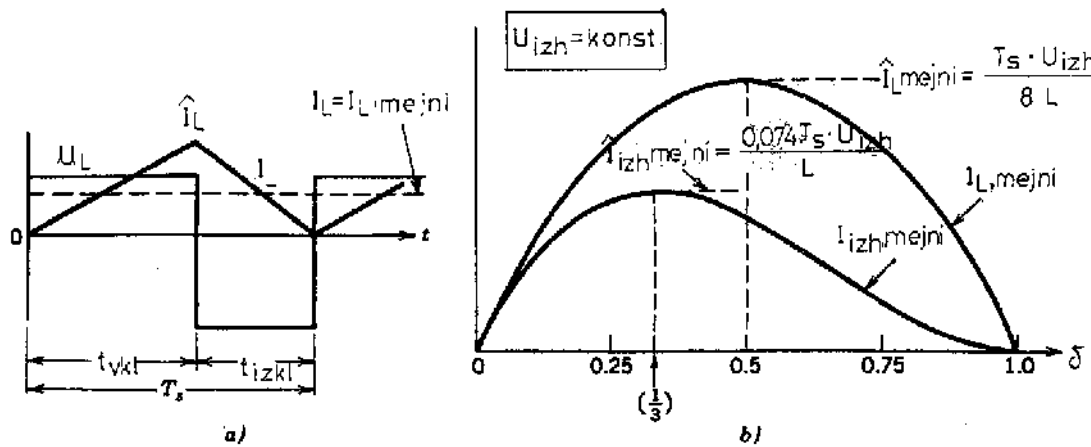
je vezje brez izgub, velja:

$$U_{vh} \cdot I_{vh} = U_{izh} \cdot I_{izh}$$

oziroma $\frac{I_{izh}}{I_{vh}} = 1-u$



Meja med zveznim in nezveznim na inom delovanja



Tok i_L je na koncu stikalne periode T_S enak ni . Srednja vrednost toka skozi dušilko je enaka:

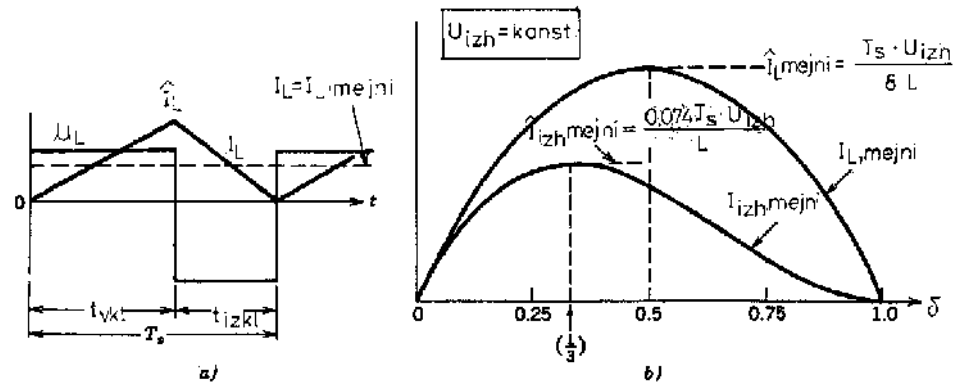
$$I_{L,mejni} = \frac{1}{2} \cdot \hat{I}_L = \frac{1}{2} \cdot \frac{U_{vh}}{L} = \frac{T_S \cdot U_{izh}}{2 \cdot L} \cdot u \cdot (1-u)$$

Pri tem pretvorniku vidimo, da je $i_L = i_{vh}$. Srednja vrednost toka na izhodu je:

$$I_{izh,mejni} = \frac{T_s \cdot U_{izh}}{2 \cdot L} \cdot u (1-u)^2$$

Tok skozi dušilko $I_{L,mejni}$ doseže maksimalno vrednost pri $u = 0,5$:

$$\hat{I}_{L,mejni} = \frac{T_s \cdot U_{izh}}{8 \cdot L}$$



Maksimalno vrednost izhodnega mejnega toka $I_{izh,mejni}$ dobimo pri $u = 0,33$:

$$\hat{I}_{izh,mejni} = \frac{2}{27} \cdot \frac{T_s \cdot U_{izh}}{L} = 0,074 \cdot \frac{T_s \cdot U_0}{L}$$

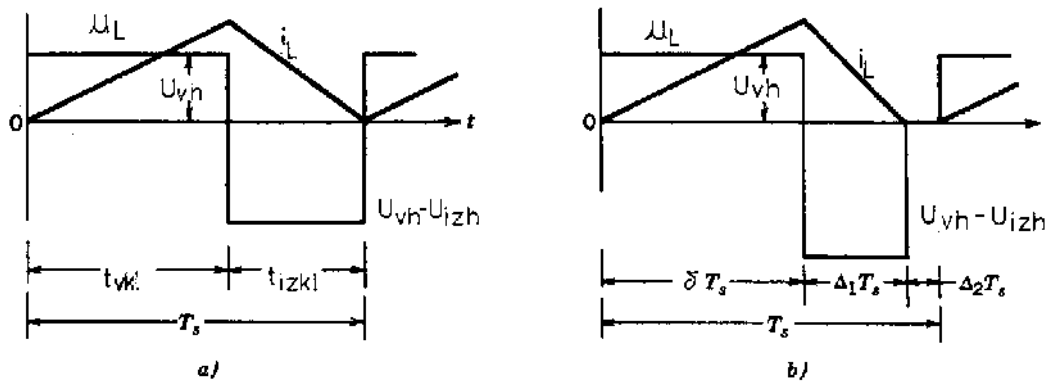
Odvisnost mejne srednje vrednosti toka skozi dušilko in mejne srednje vrednosti izhodnega toka od njunih maksimalnih vrednosti je enaka:

$$I_{L,mejni} = 4 \cdot u(1-u) \cdot \hat{I}_{L,mejni}$$

in

$$I_{izh,mejni} = \frac{27}{4} \cdot u(1-u)^2 \cdot \hat{I}_{izh,mejni}$$

Pretvornik navzgor v neveznem načinu delovanja



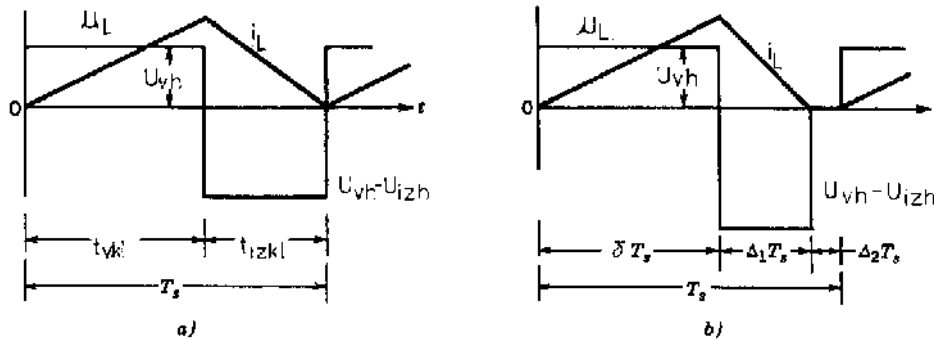
Ponovno izračujmo integral napetosti na dušilki preko ene periode:

$$U_{vh} \cdot u \cdot T_s + (U_{vh} - U_{izh}) \cdot \Delta_1 \cdot T_s = 0$$

$$\frac{U_{izh}}{U_{vh}} = \frac{\Delta_1 + u}{\Delta_1}$$

ozziroma:

$$\frac{I_{izh}}{I_{vh}} = \frac{\Delta_1}{\Delta_1 + u} \quad \text{ker je } P_{vh} = P_{izh}$$

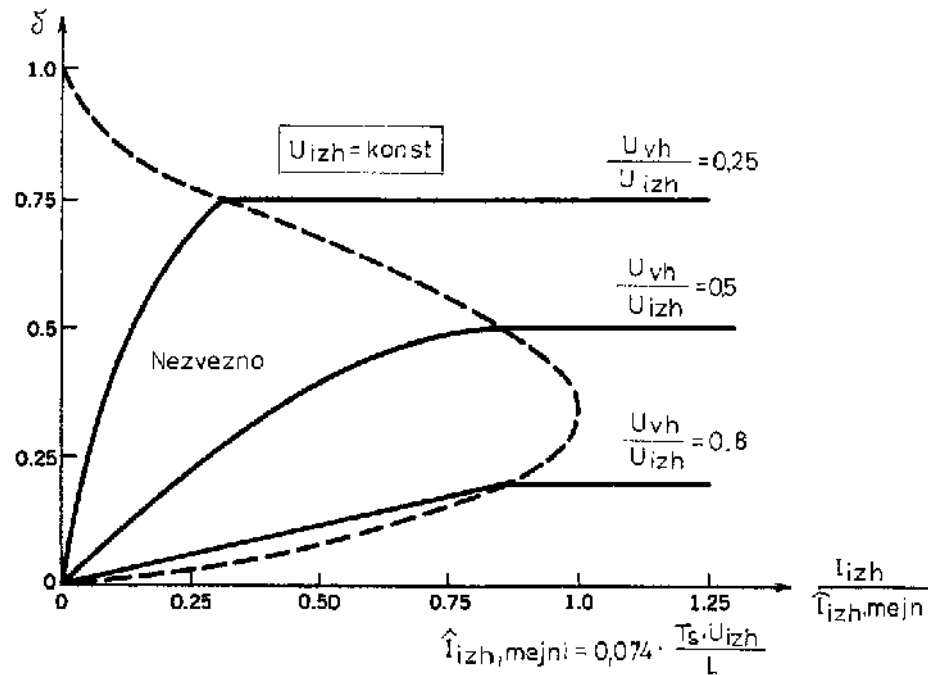


Pri trganem toku skozi dušilko je njegova srednja vrednost enaka srednji vrednosti vhodnega toka:

$$I_L = I_{vh} = \frac{U_{vh}}{2 \cdot L} \cdot u \cdot T_S (u + \Delta_1)$$

$$I_{izh} = \left(\frac{T_S \cdot U_{vh}}{2 \cdot L} \right) \cdot u \cdot \Delta_1$$

$$u = \sqrt{\left[\frac{4}{27} \cdot \frac{U_{izh}}{U_{vh}} \left(\frac{U_{izh}}{U_{vh}} - 1 \right) \cdot \frac{I_{izh}}{\hat{I}_{izh,mejni}} \right]}$$

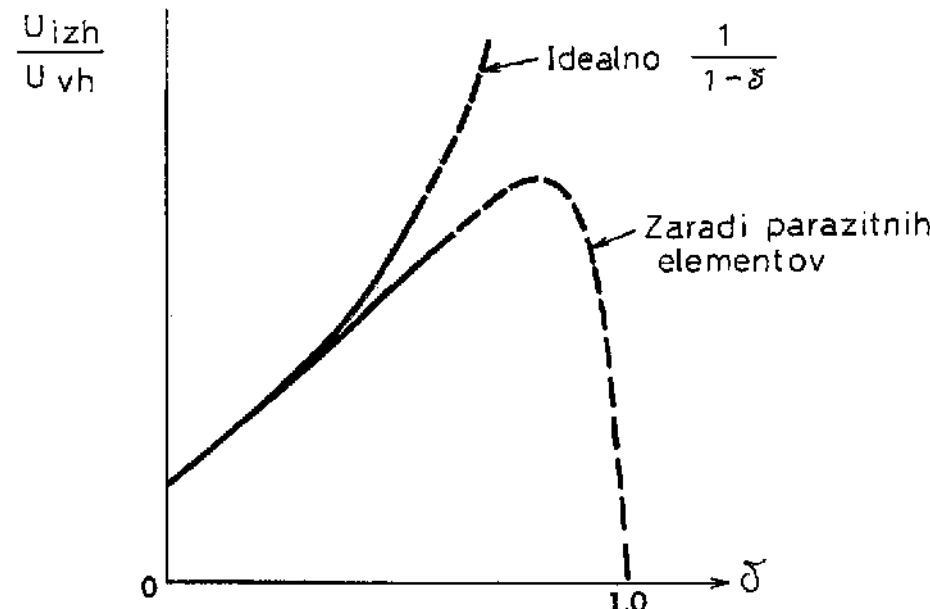


Karakteristike pretvornika navzgor pri konstantni izhodni napetosti U_{izh} .

Energija, ki se v eni periodi prenese iz vhoda v izhodni kondenzator in breme je enaka:

$$\frac{L}{2} \cdot \hat{I}_L^2 = \frac{(U_{vh} \cdot u \cdot T_S)^2}{2 \cdot L}$$

Vpliv parazitnih elementov na delovanje vezja



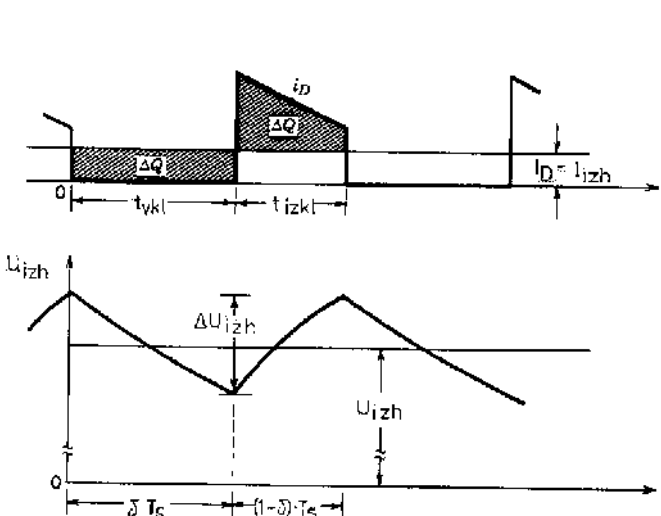
Valovitost izhodne napetosti (pri zveznem toku)

Če predpostavimo, da te je srednja vrednost toka skozi breme, izmeni ni del pa te je skozi izhodni kondenzator, potem je sprememba napetosti na kondenzatorju:

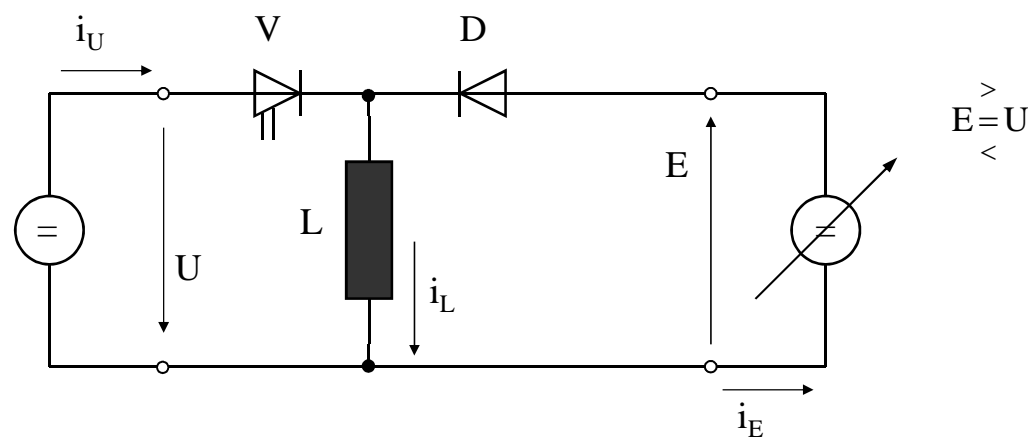
$$\Delta U_{izh} = \frac{\Delta Q}{C} = \frac{I_{izh} \cdot u \cdot T_S}{C} = \frac{U_{izh}}{R} \cdot \frac{u \cdot T_S}{C}$$

$$\frac{\Delta U_{izh}}{U_{izh}} = \frac{u \cdot T_S}{RC} = \frac{u \cdot T_S}{\ddot{t}}$$
kjer je $\ddot{t} = RC$

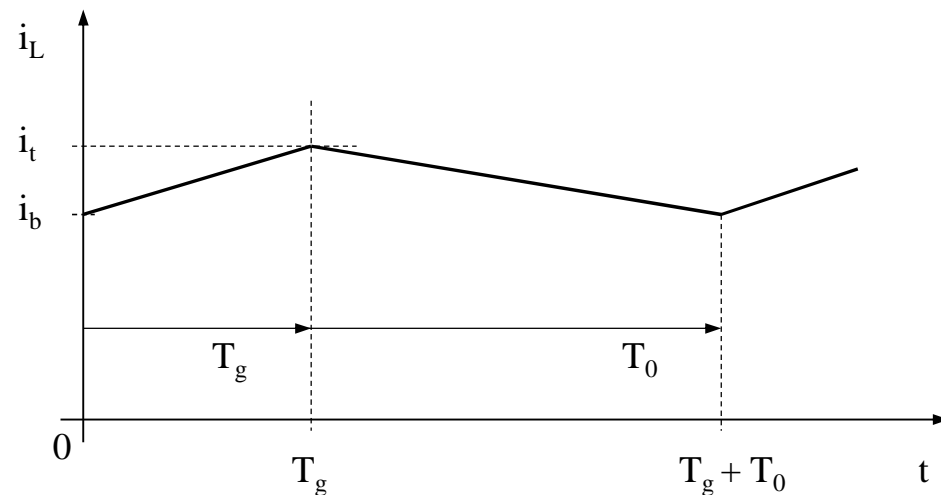
Valovitost izhodne napetosti
prevornika navzgor



Zaporni pretvornik



Slika 11.10: Shema zapornega pretvornika

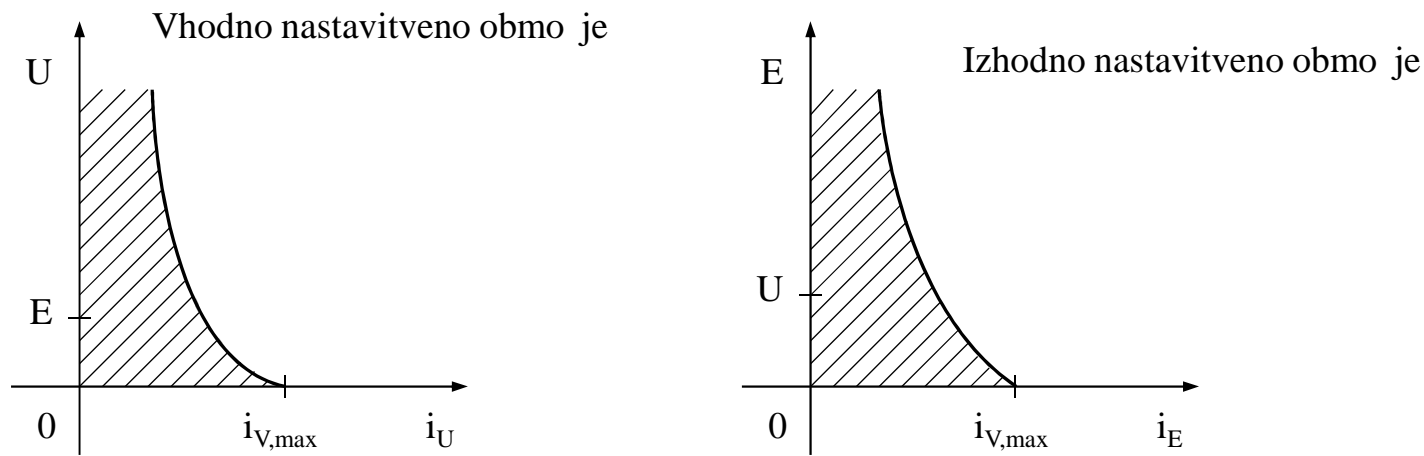


$$i = \frac{1}{L} \cdot \int_{t=0}^t U dt$$

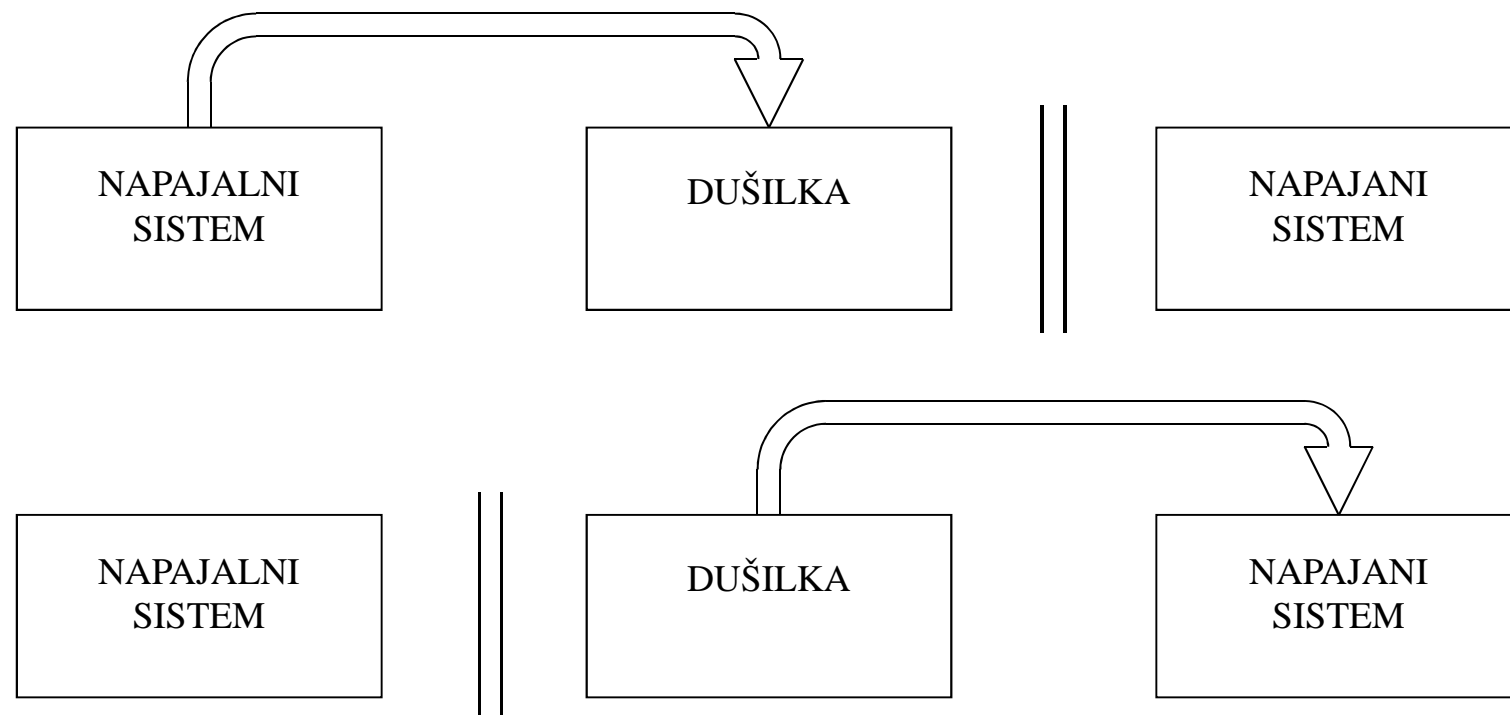
$$i_L = i_t + \frac{1}{L} \int_{t=T_g}^t (-E) dt$$

$$i_L = i_b + \frac{1}{L} \cdot \int_{t=0}^t U dt$$

Slika 11.11: asovni potek toka

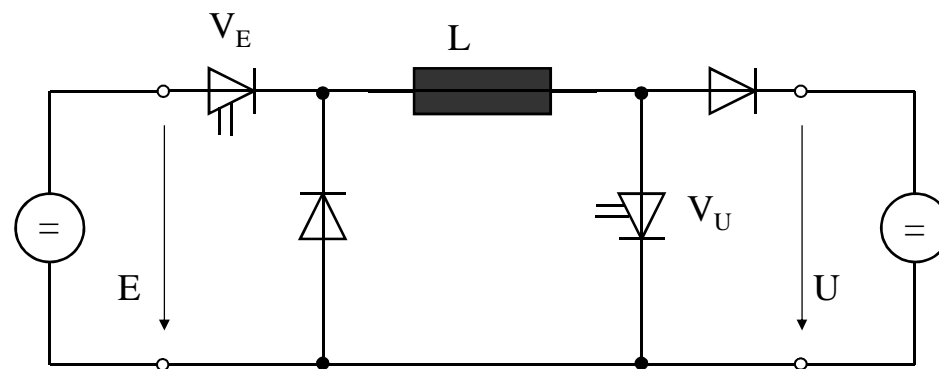


Slika 11.12: Nastavitevno obmo je (za $i_L \approx I_L$ in $\hat{i}_V = \hat{i}_{V,\max}$)



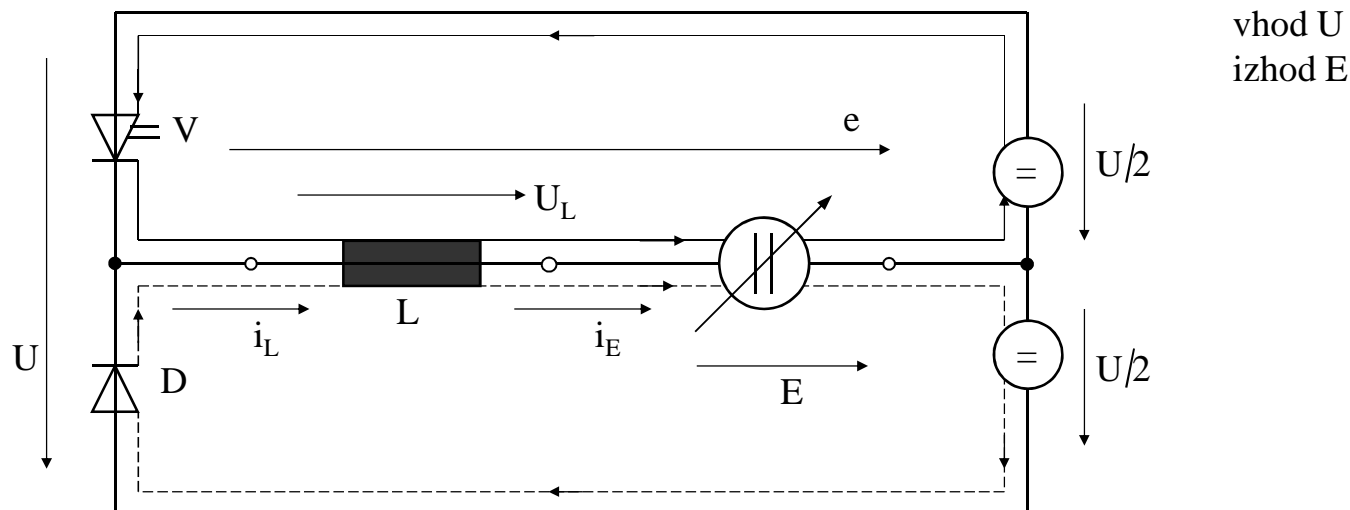
Slika 11.13: Pretok energije v odprttem in zaprtem stanju ventila

Kaskadna vezava (Buck-Boost)



Slika 11.14: Kaskada pretvornika navzgor in pretvornika navzdol

Pretvornik navzdol s spremembo smeri napetosti

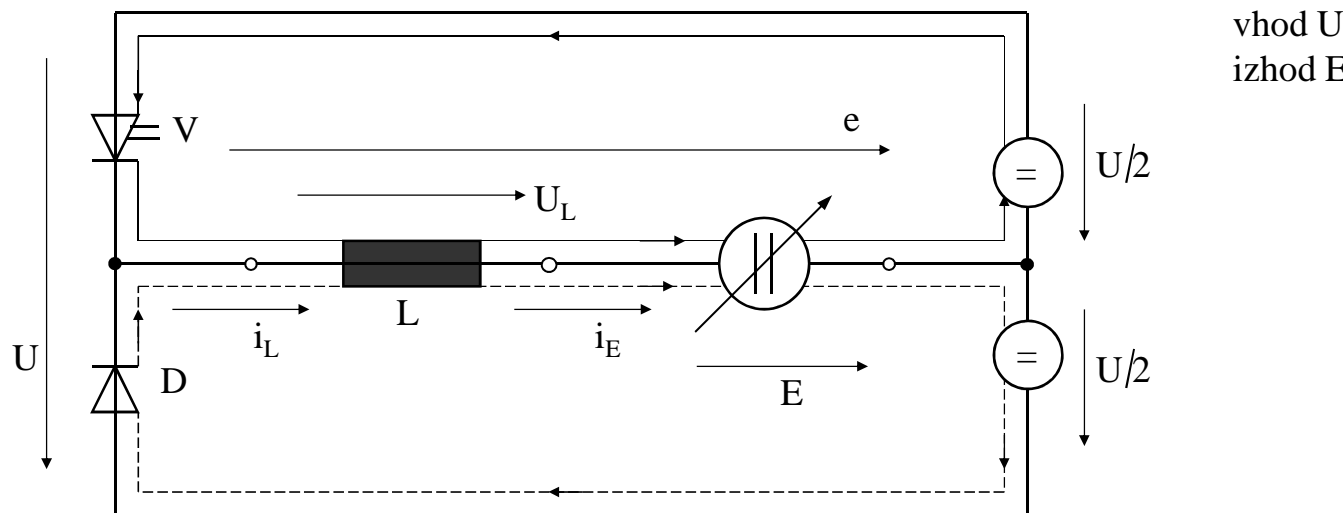


$$V \text{ prevaja } (T_g): \quad \text{Tokovna veja:} \quad e = e_{\max} = +\frac{U}{2}$$

$$V \text{ zaprt } (T_o): \quad \text{Tokovna veja:} \quad e = e_{\min} = -\frac{U}{2}$$

Slika 11.15: Shema pretvornika navzdol s spremembo smeri napetosti

Pretvornik navzdol s spremembo smeri napetosti



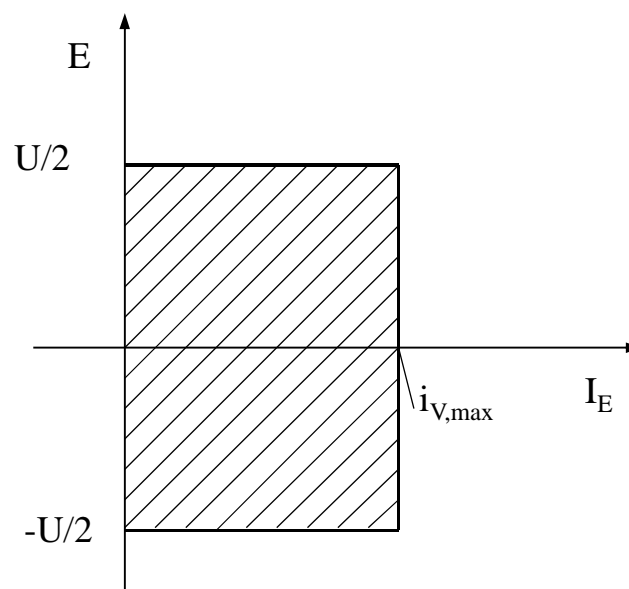
$$g = 1: \quad \bar{e} = \bar{e}_{\max} = +\frac{U}{2}$$

$$E = e - u_L$$

$$g = 0: \quad \bar{e} = \bar{e}_{\min} = -\frac{U}{2}$$

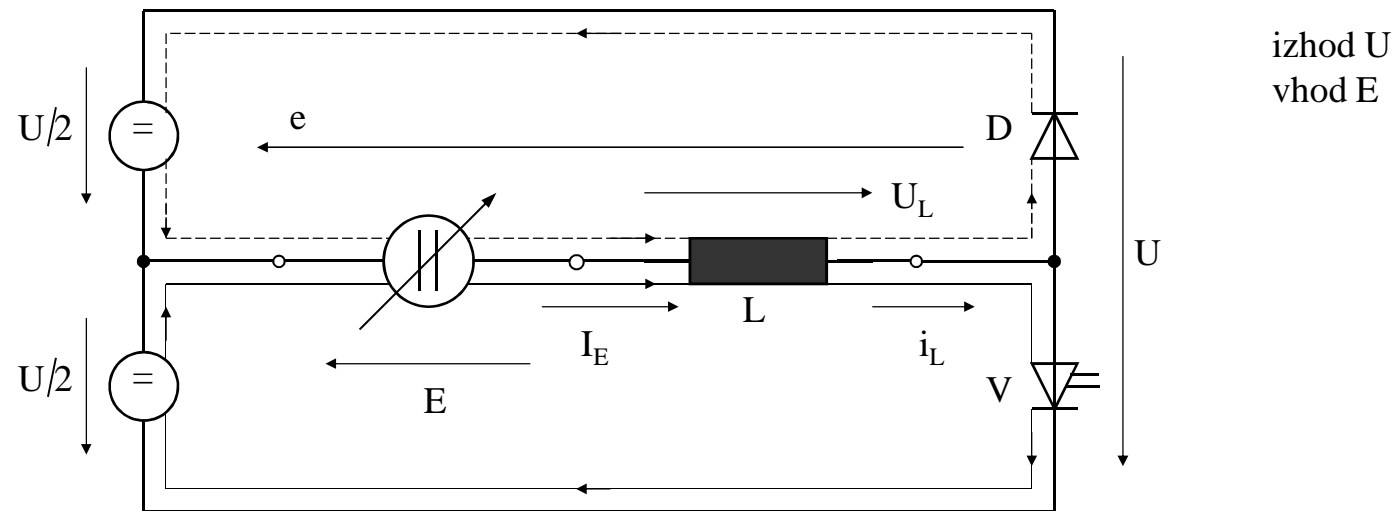
$$V \text{ ustaljenem stanju je } U_L=0 \rightarrow -\frac{U}{2} \leq E \leq +\frac{U}{2}$$

Slika 11.15: Shema pretvornika navzdol s spremembo smeri napetosti



Slika 11.16: Izhodno nastavitevno stanje sistema

Pretvornik navzgor s spremembo smeri napetosti



tokovna veja mora biti vzpostavljena

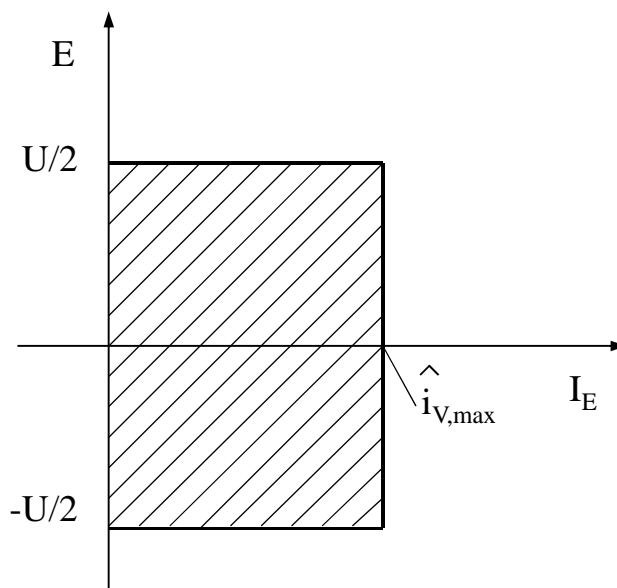
V prevaja (T_g): Tokovna veja

$$e = e_{\min} = -\frac{U}{2}$$

V zaprt (T_o): Tokovna veja;

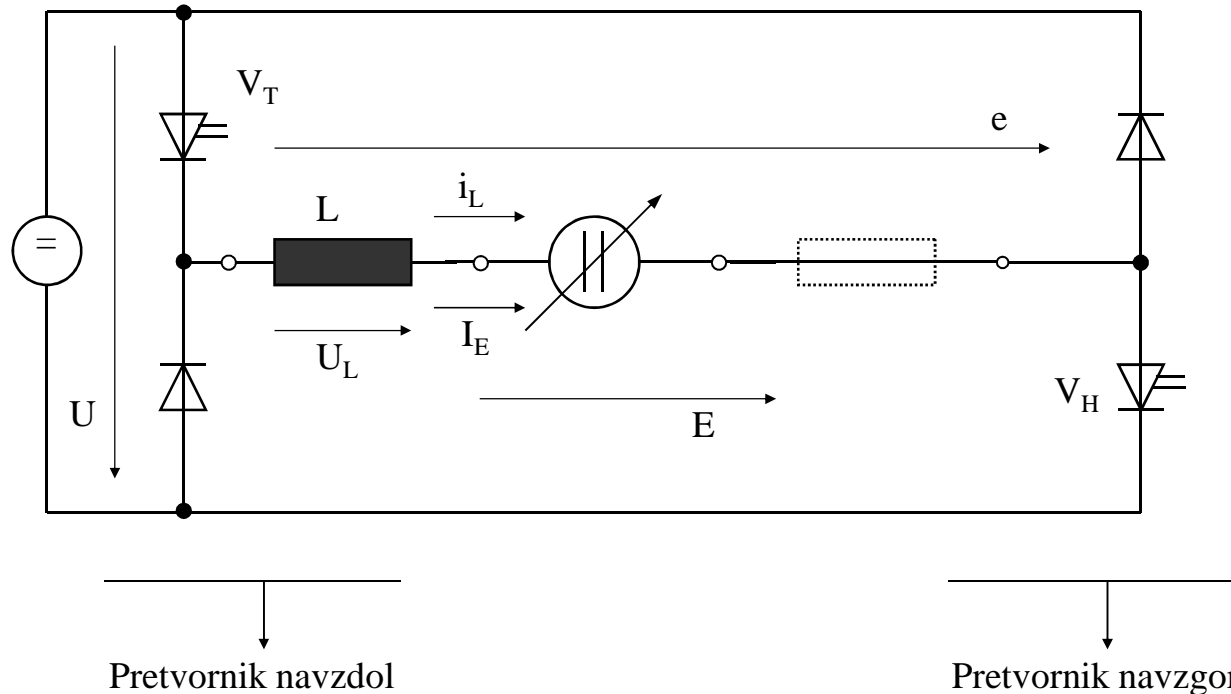
$$e = e_{\max} = \frac{U}{2}$$

Slika 11.17: Shema pretvornika navzgor



Slika 11.18: Vhodno nastavljeno obmoje

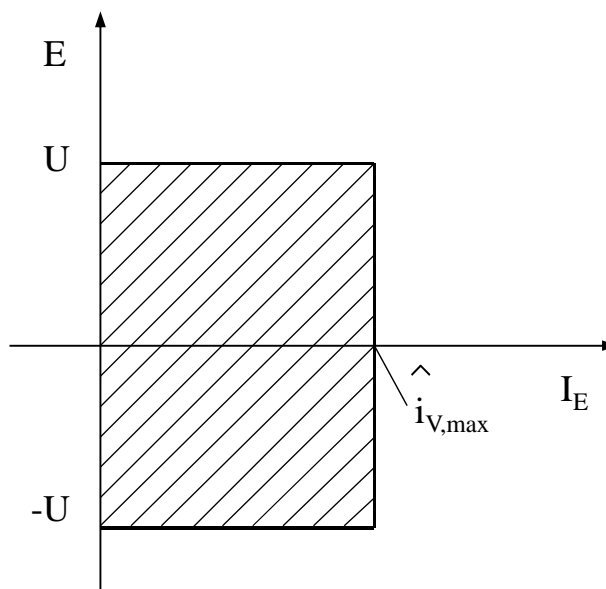
Enosmerni nastavljalnik v obliki asimetri nega polnosti a



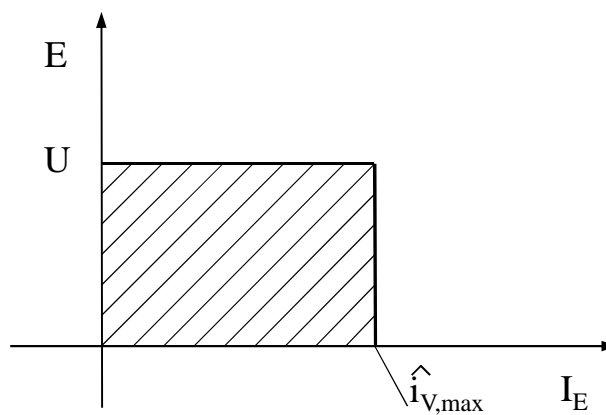
Možnosti delovanja:

- a) Brez uporabe prostote nih tokokrogov
- b) Lo eno pokrivanje prvega in etrtega kvadranta

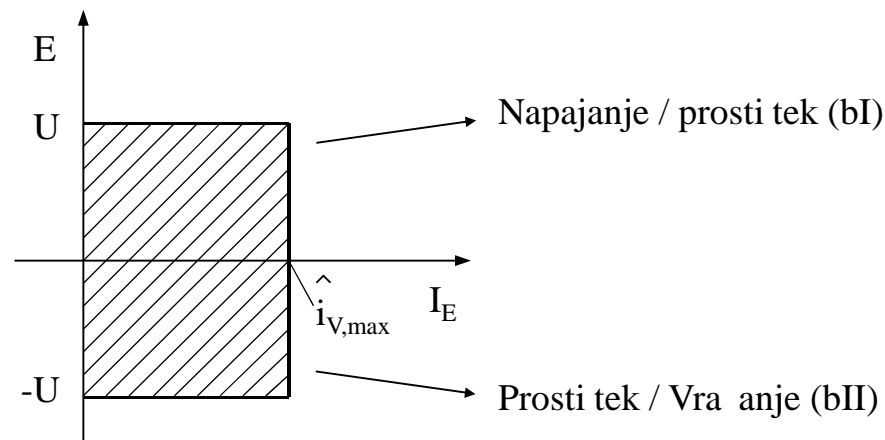
Slika 11.19: Shema nastavljalnika



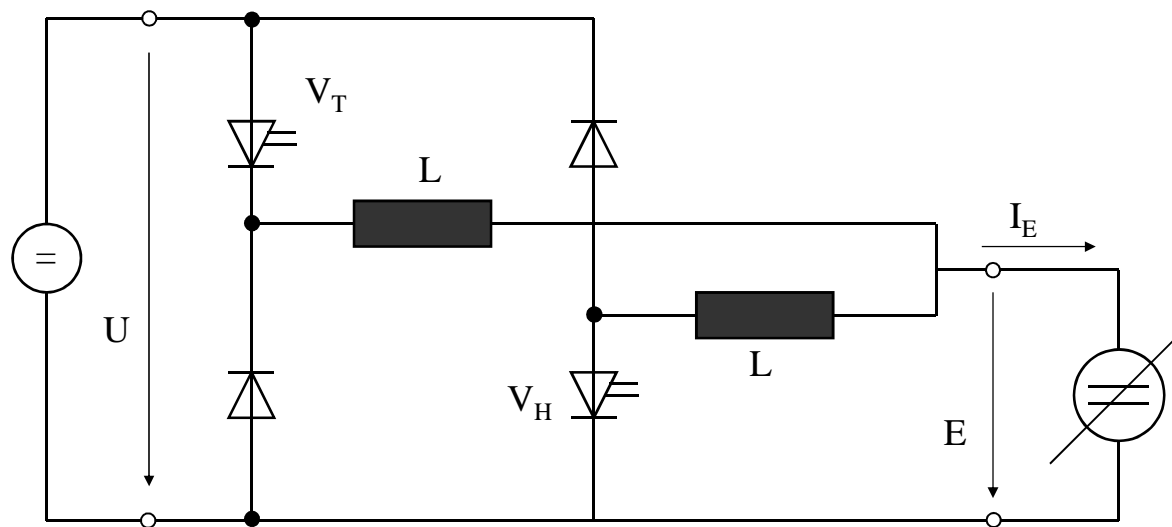
Slika 11.20: Nastavljeno območje



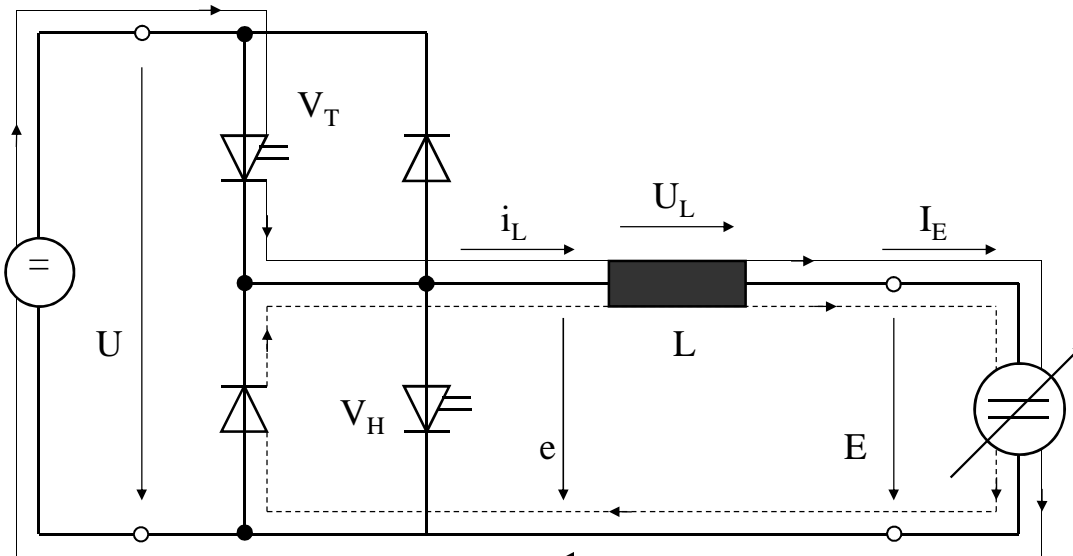
Slika 11.21: Shema pokrivanja



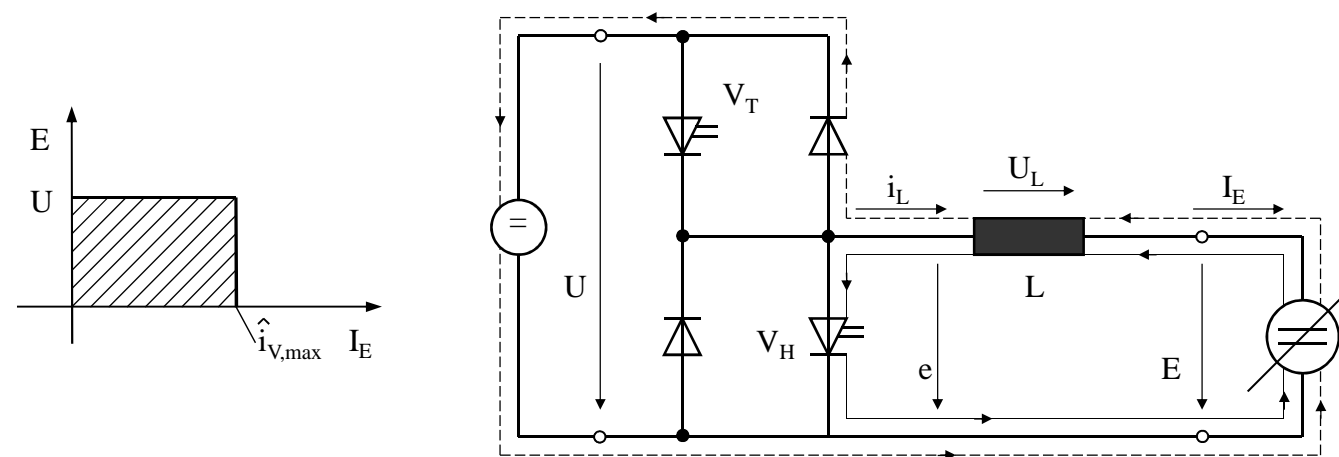
Slika 11.22: Celotno nastavitevno območje

Dvokvadrantni nastavljalnik z obrajanjem smeri toka

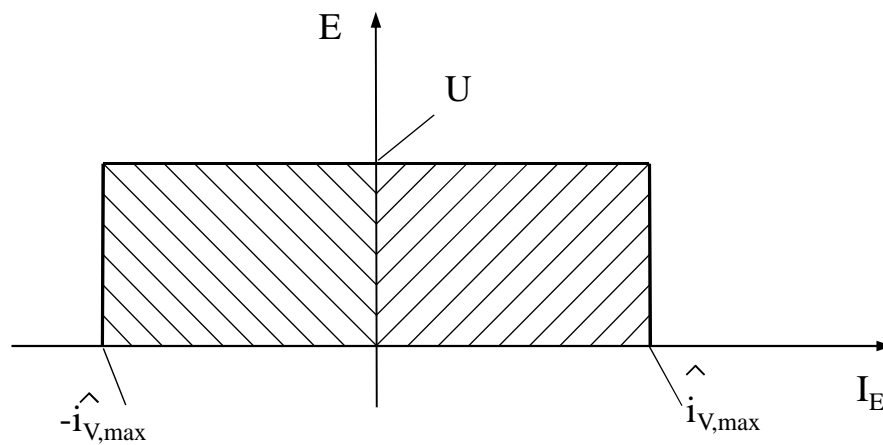
Slika 11.23: Shema nastavljalnika



Slika 11.24: 1. Kvadrant

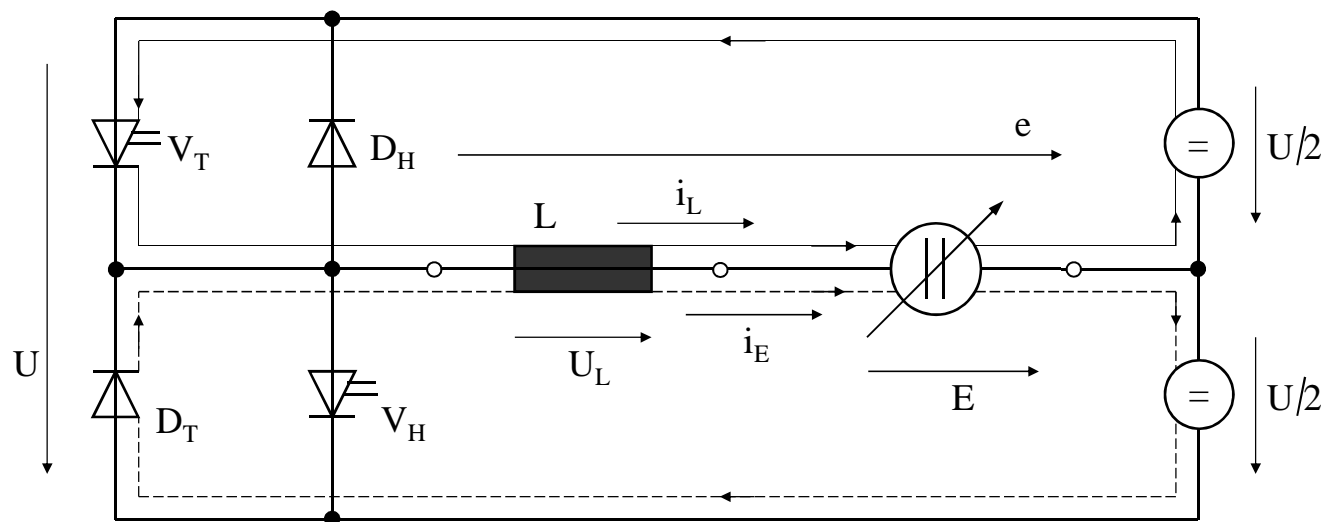


Slika 11.25: 2. Kvadrant



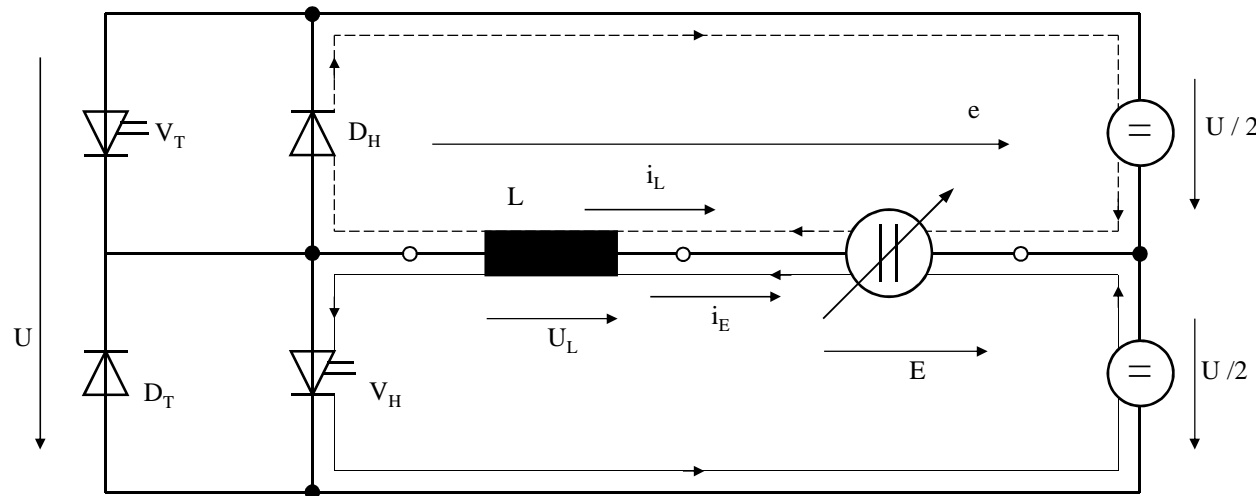
Slika 11.26: Krmilno obmoje

**Štirikvadrantni nastavljalnik s spremembo smeri
napetosti s srednjim odcepom**

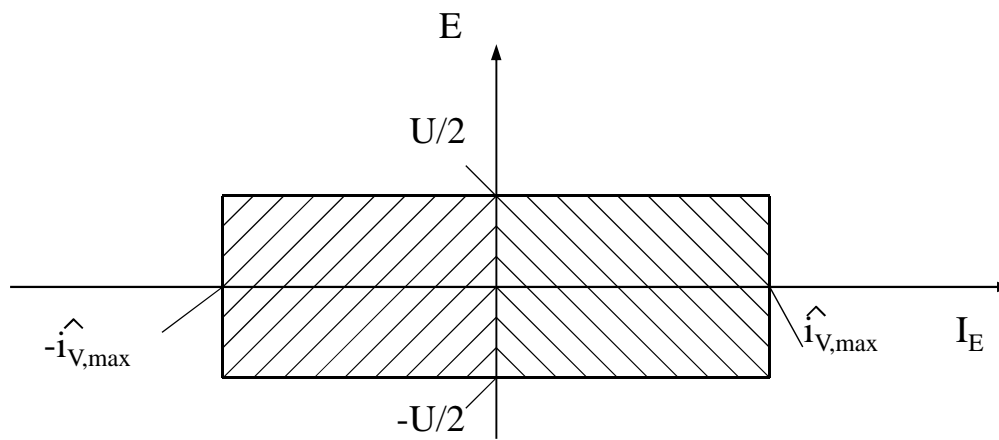


Slika 11.27: Shema nastavljalnika, delovanje v 1. in 4. kvadrantu

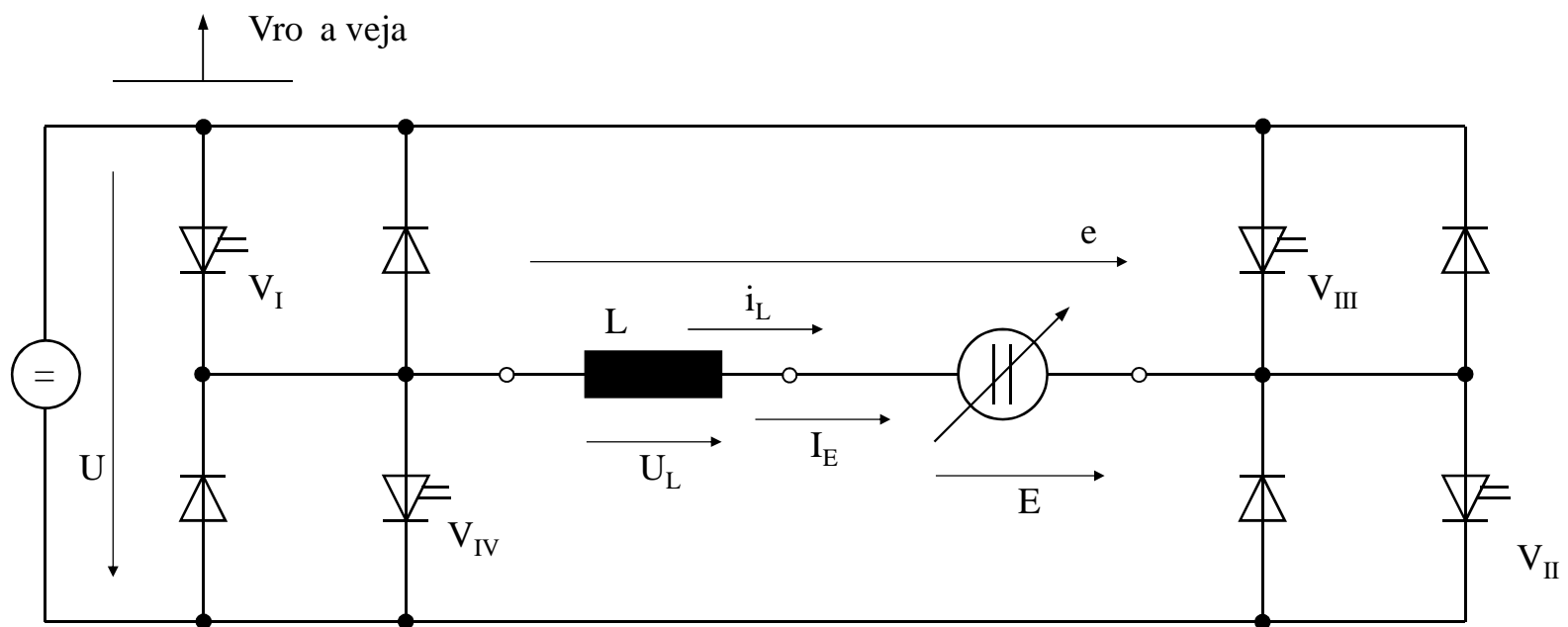
1. $I_L > 0$ Pripadajo e nastavitevno obmo je za E: 1. in 4. kvadrant
2. $I_L < 0$ Pripadajo e nastavitevno obmo je za E: 2. in 3. kvadrant



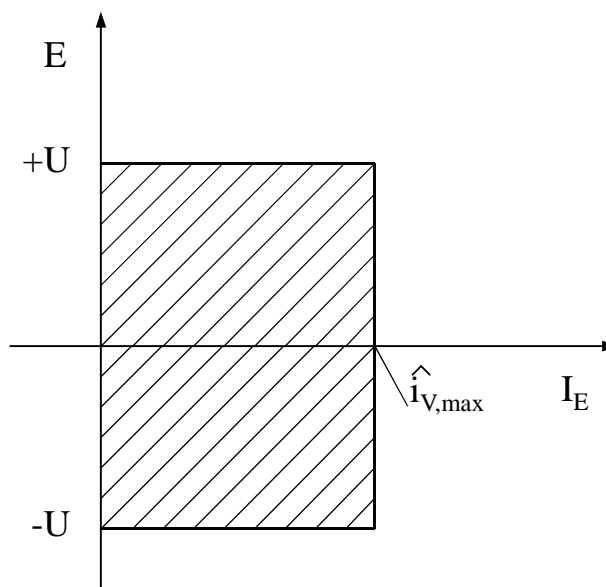
Slika 11.28: Delovanje v 2. in 3. kvadrantu



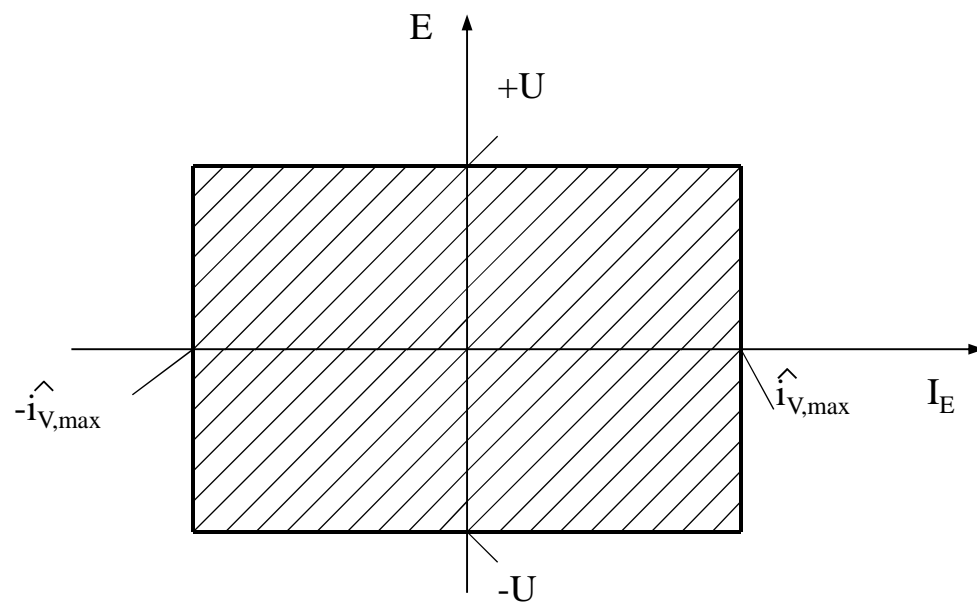
Slika 11.29: Skupno nastavitevno območje



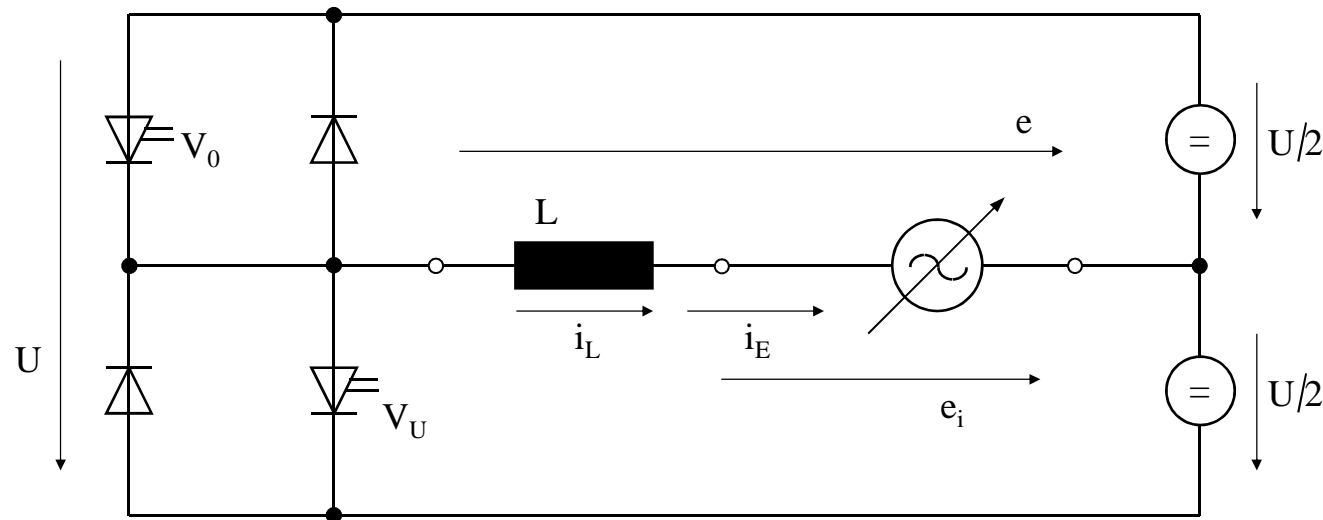
Slika 11.30: Shema vezja (tokovne veje niso vrisane)



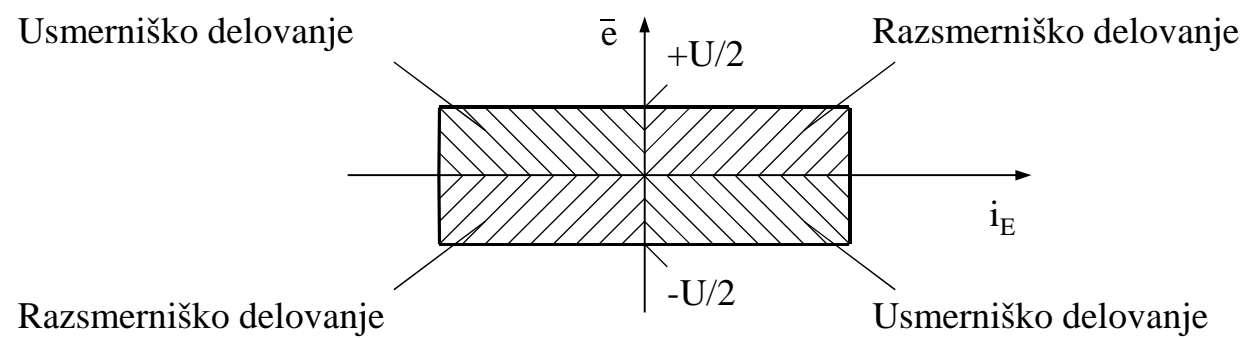
Slika 11.31: Nastavljeno območje za E



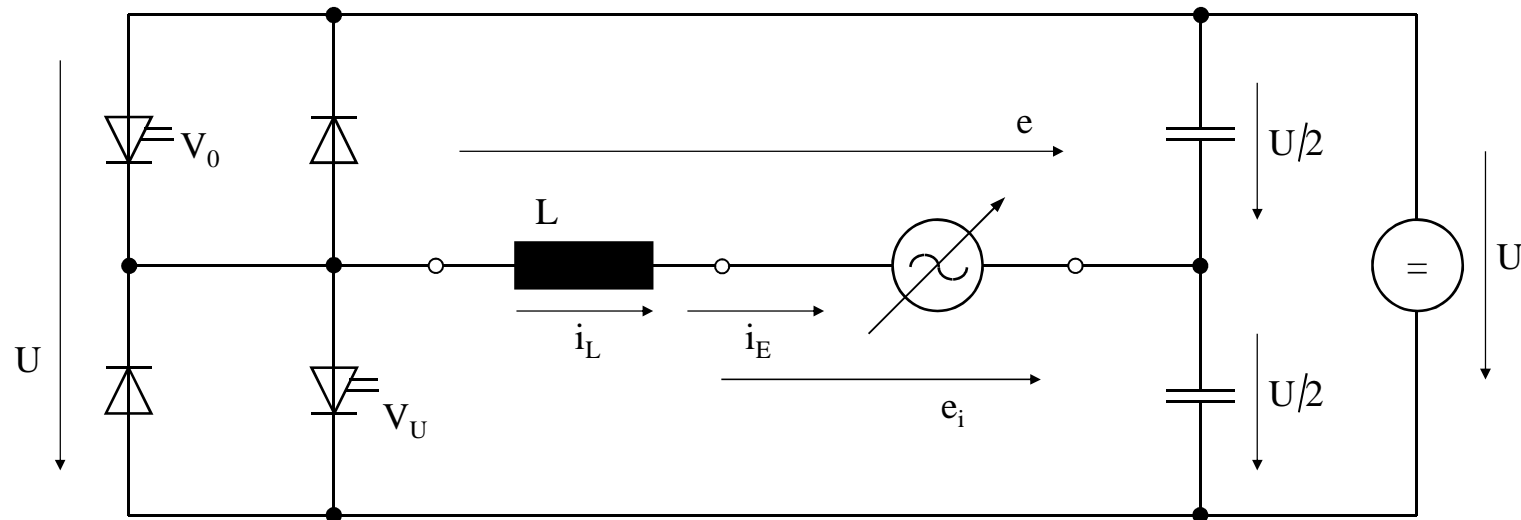
Slika 11.32: Nastavljeno območje



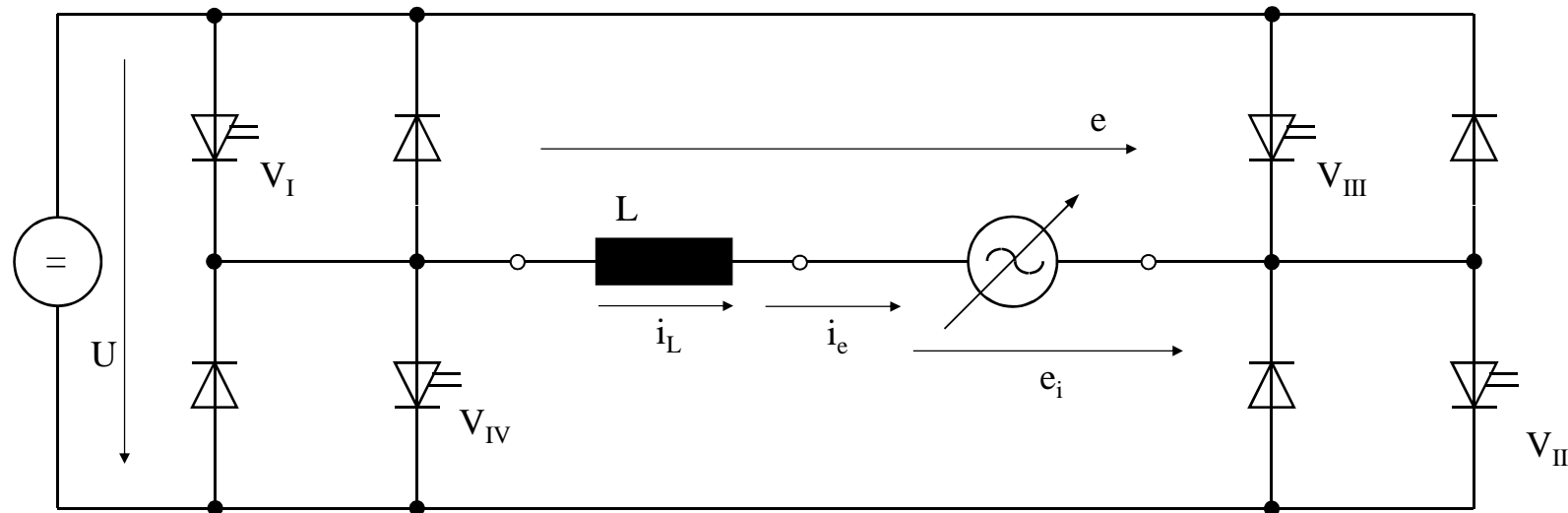
Slika 11.33: Shema vezja



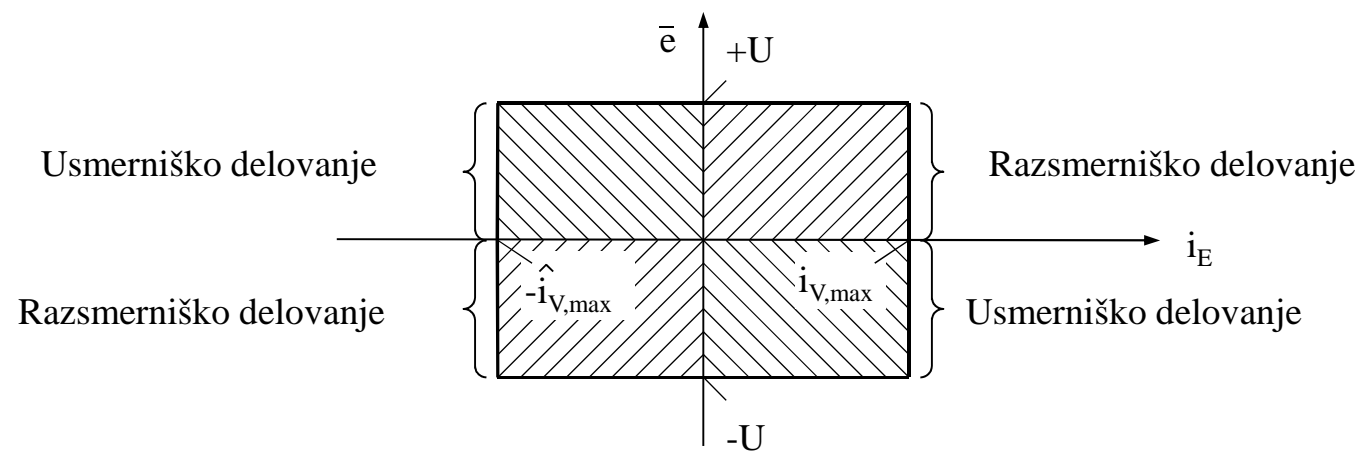
Slika 11.34: Nastavitevno (delovno) podro je



Slika 11.35: Izvedba s kapacitivnim srednjim odcepom

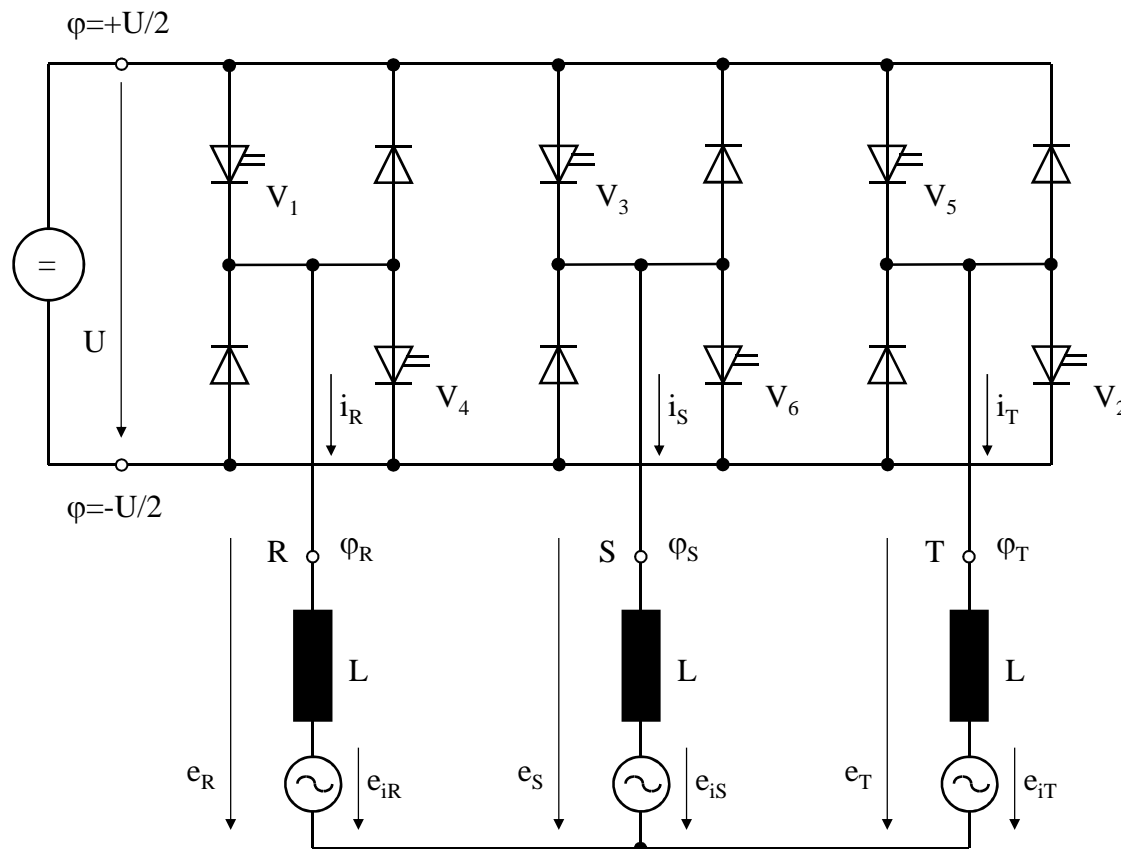
Enofazni usmernik (razsmernik) v mosti ni vezavi

Slika 11.36: Shema vezja

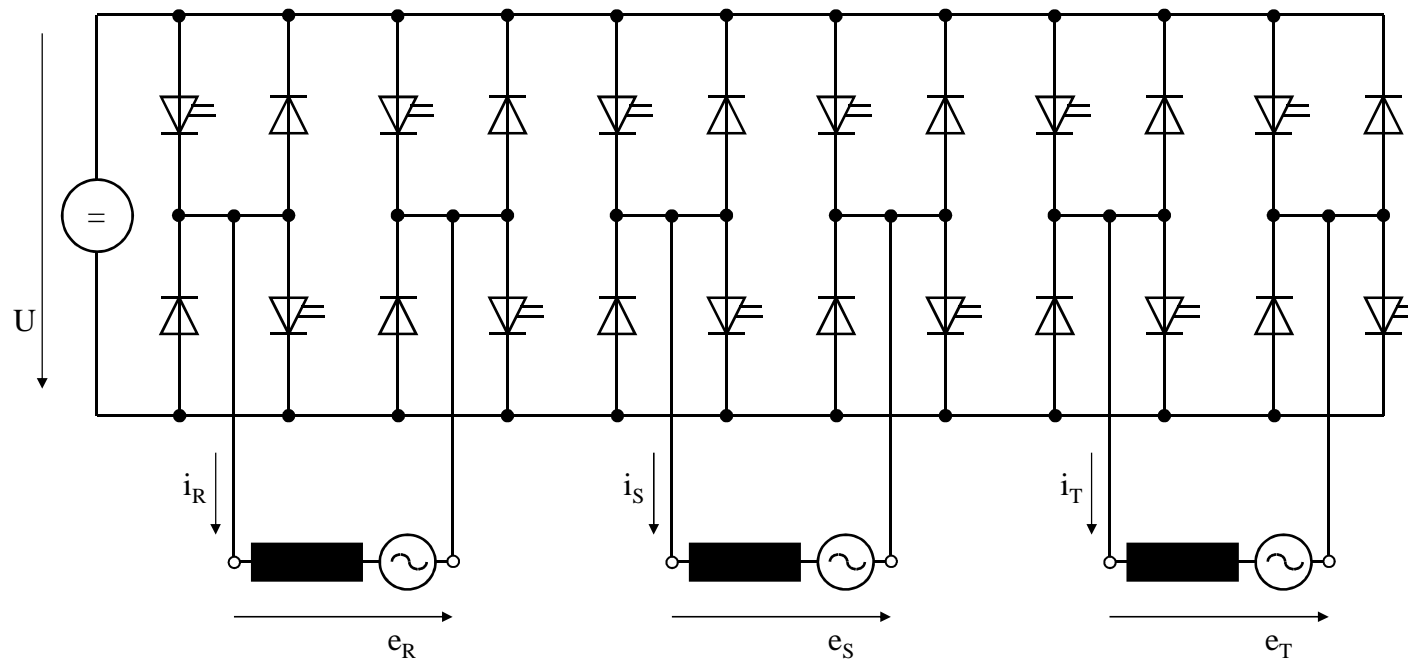


Slika 11.37: Oznaka v kvadrantih za kvazistacionarno delovanje

Trifazni usmernik (razsmernik) v mosti ni vezavi

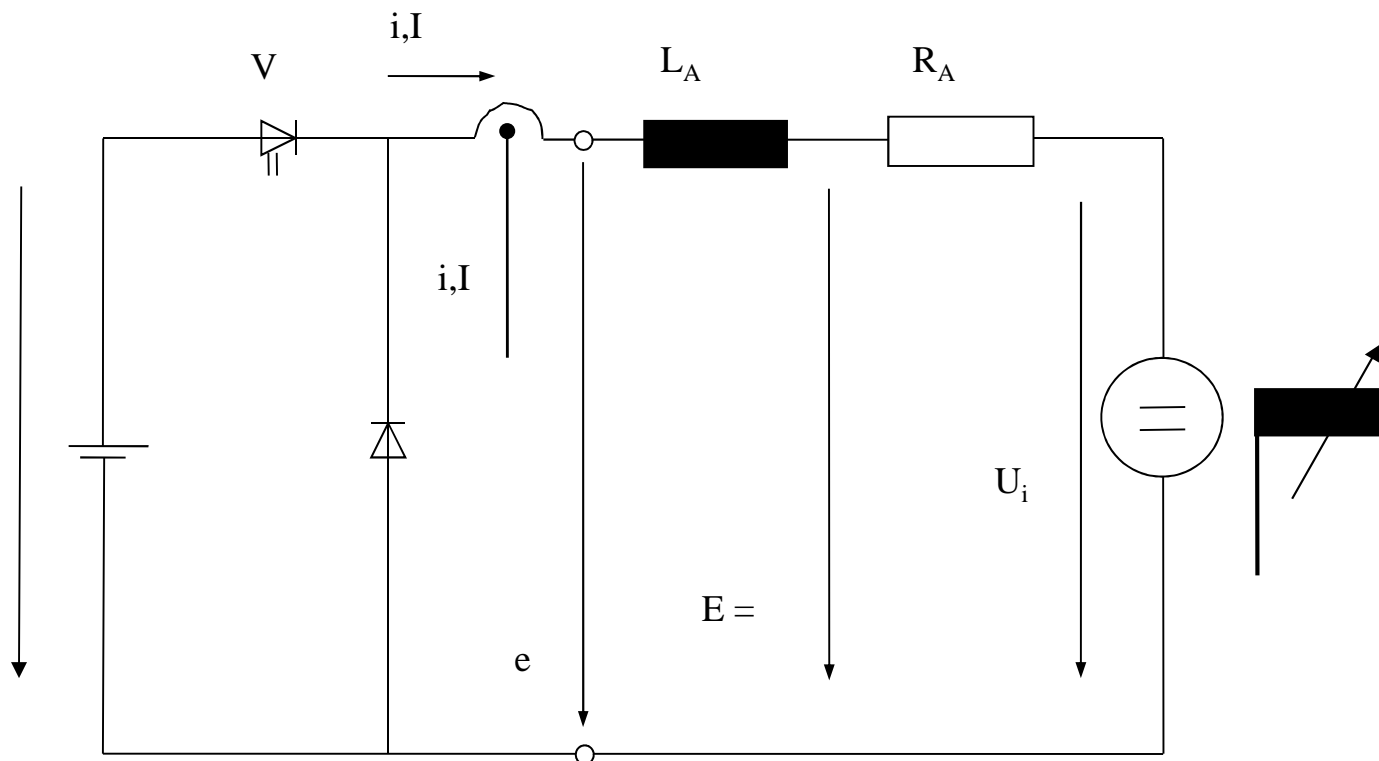


Slika 11.38: Shema vezja

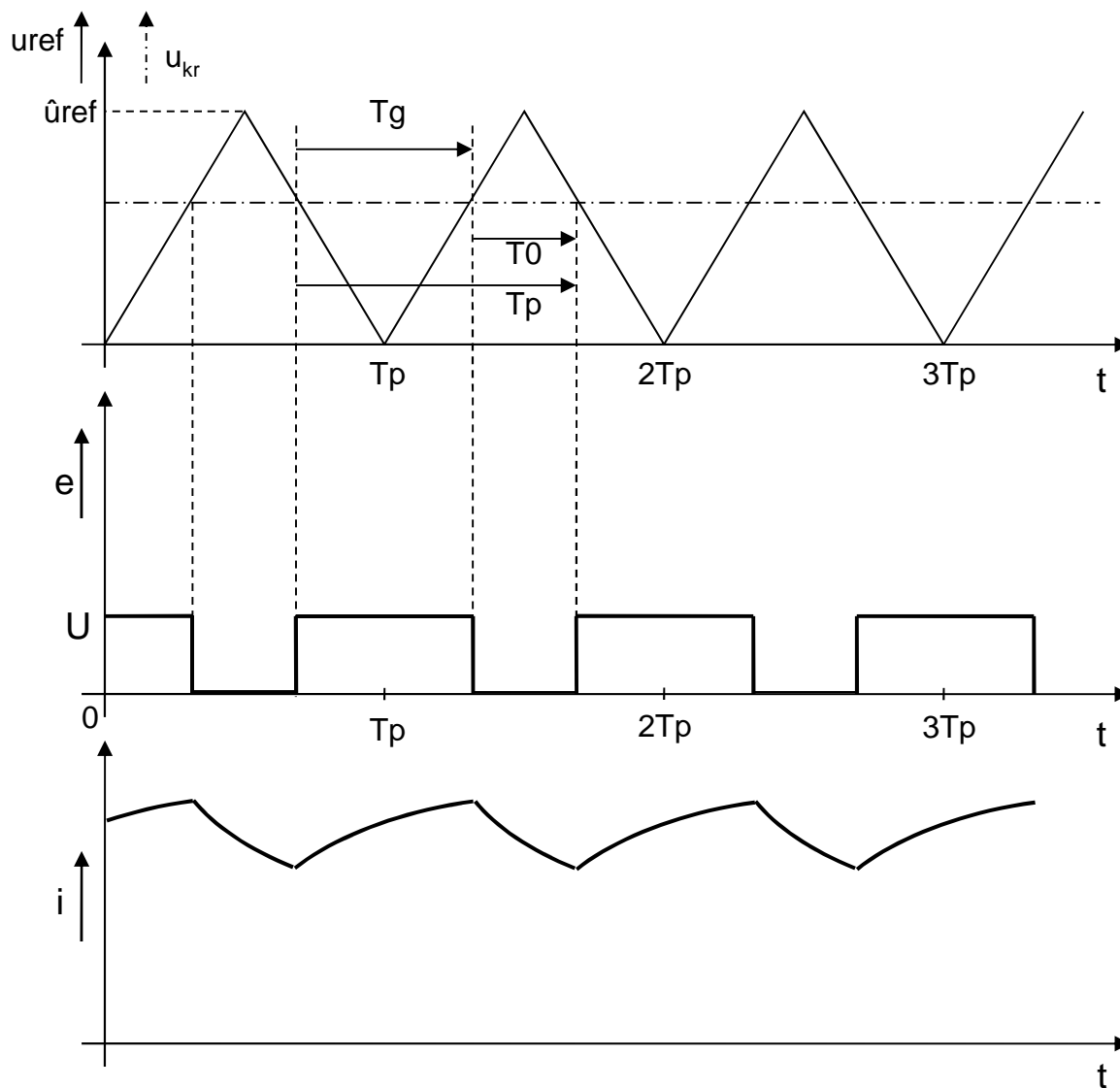
Trojni enofazni usmernik (razsmernik) v mosti ni vezavi

Slika 11.39: Shema vezja

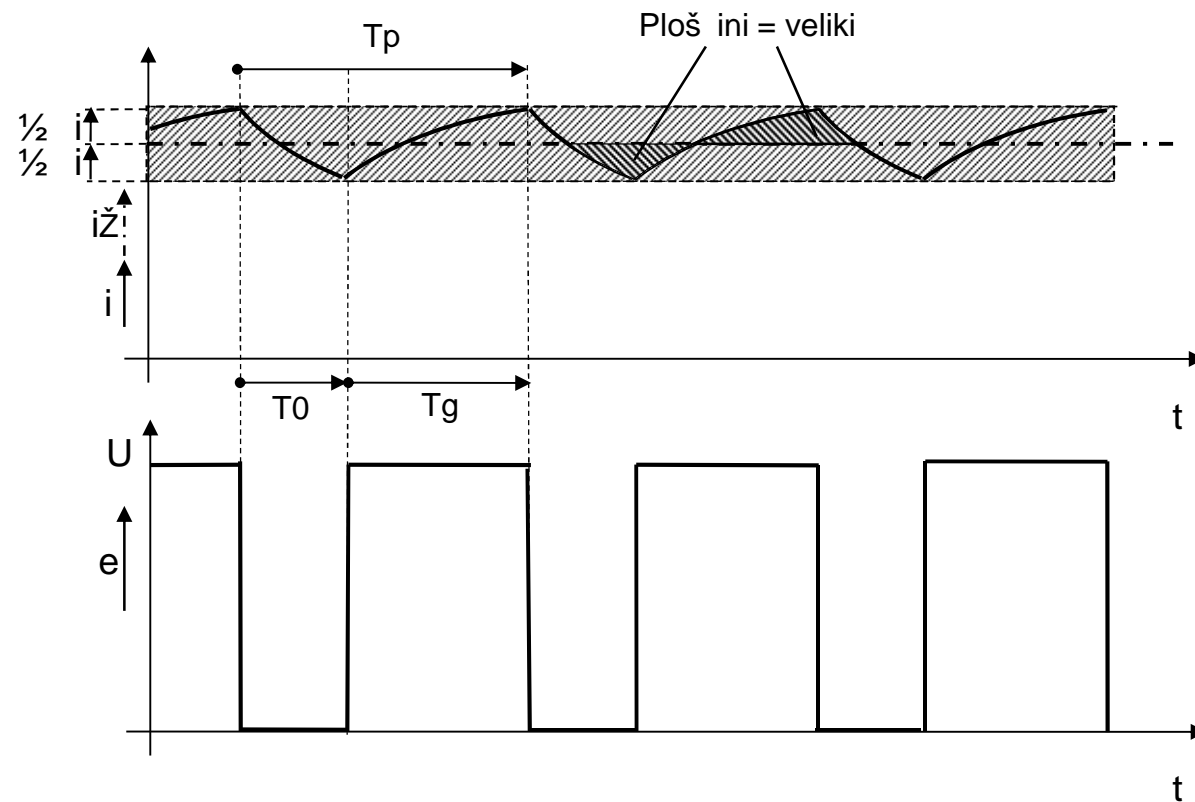
Osnovni modulacijski principi - PŠM



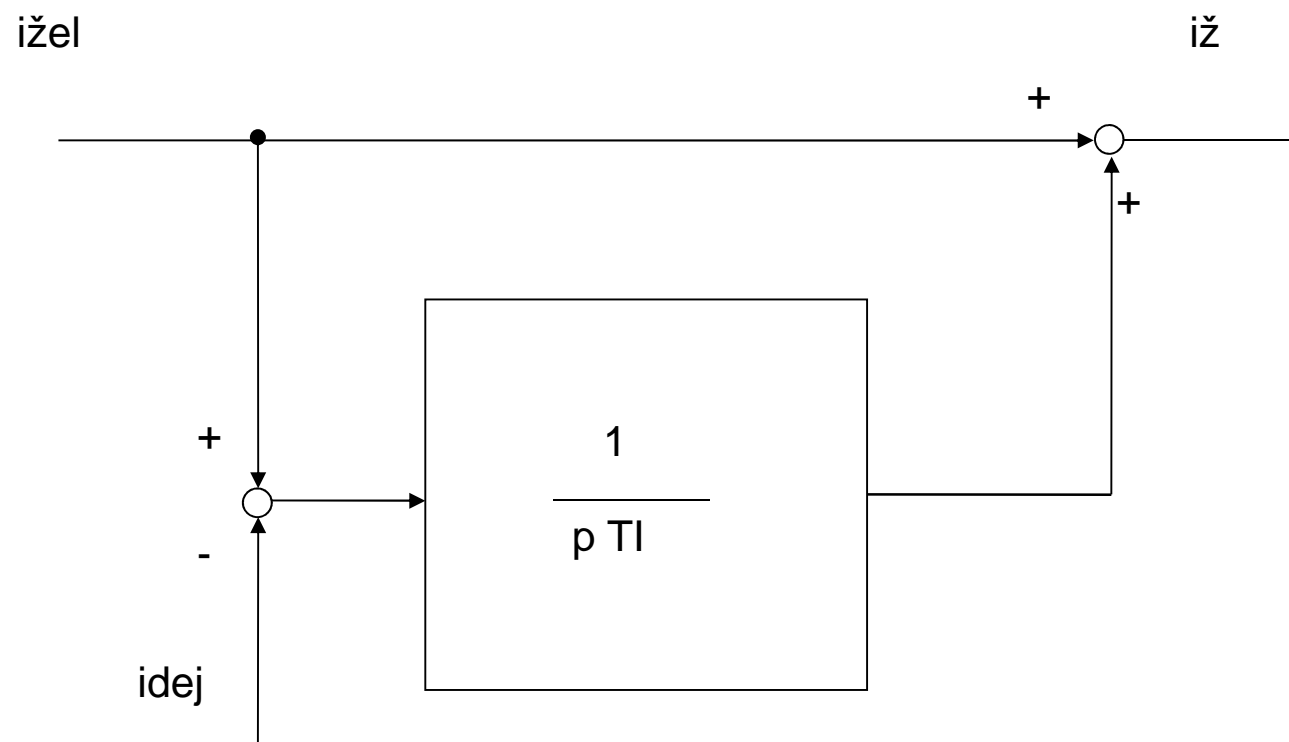
Slika 12.1



Slika 12.2

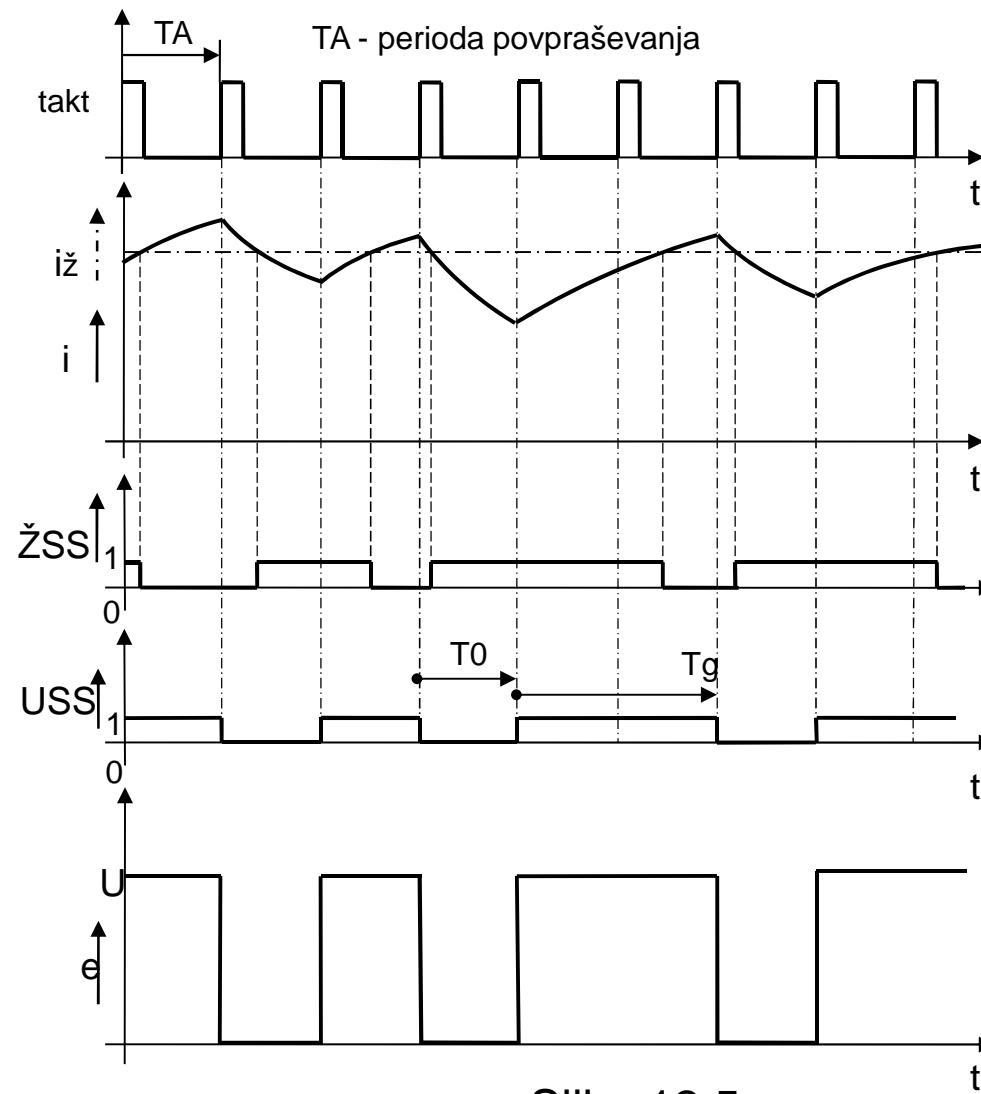


Slika 12.3

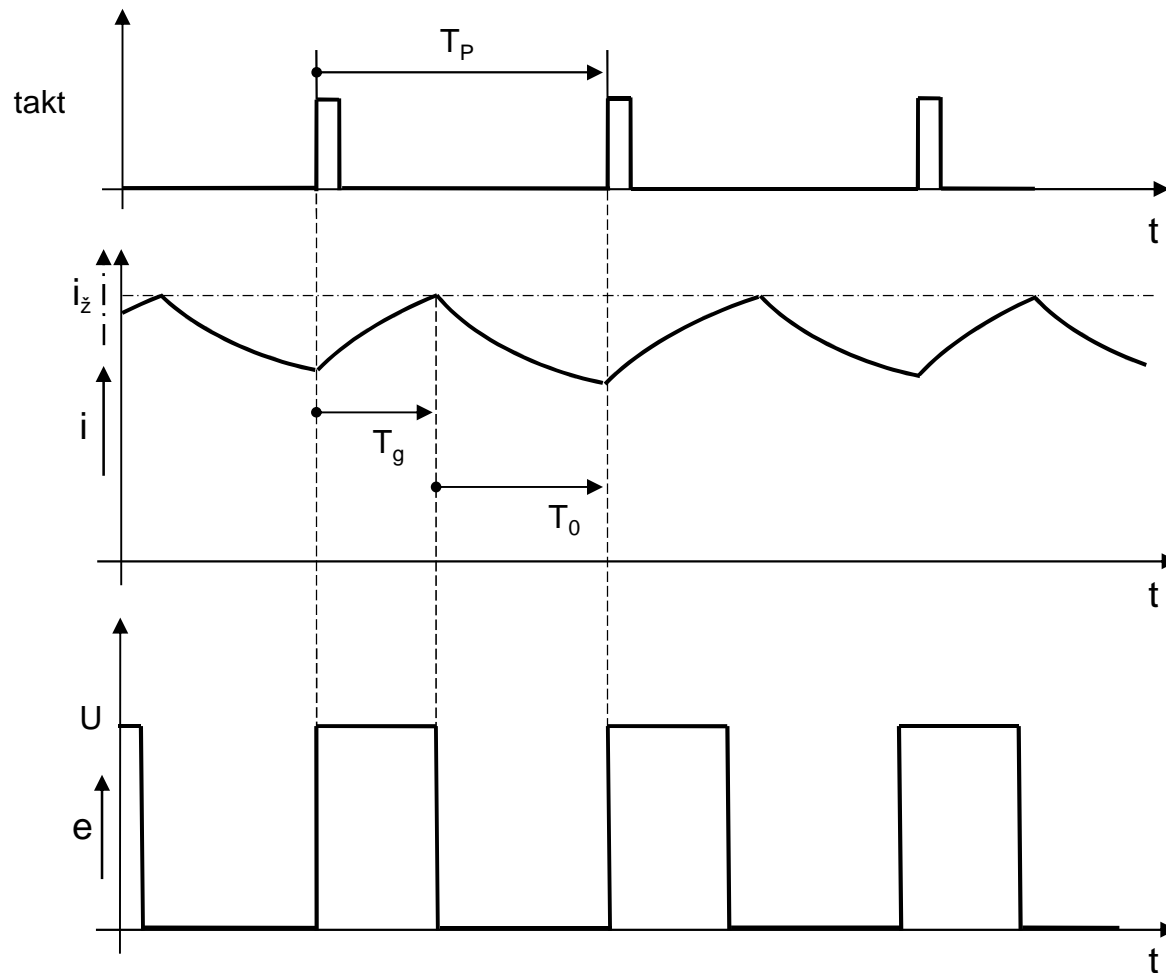


Slika 12.4

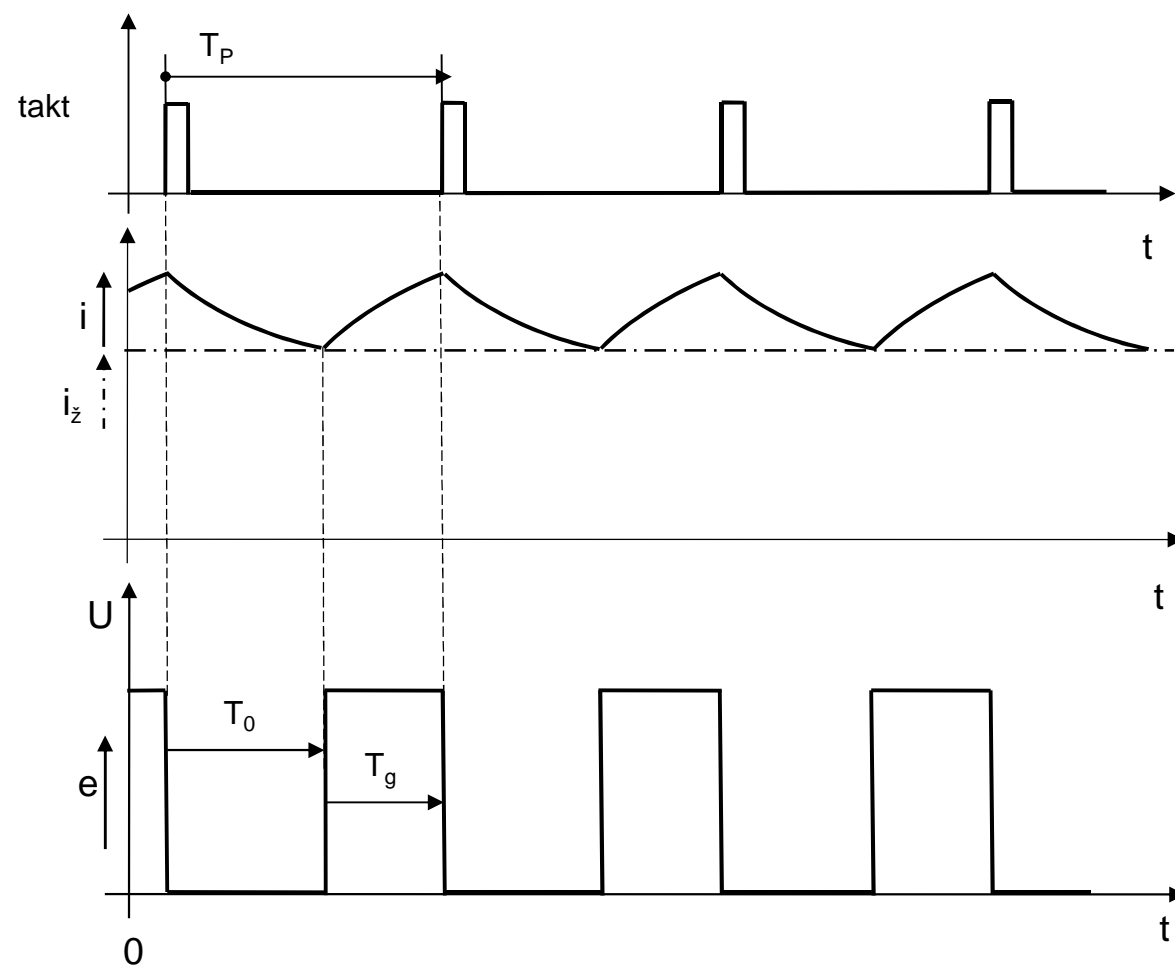
asovno-diskretni na in spremjanja stikalnih stanj



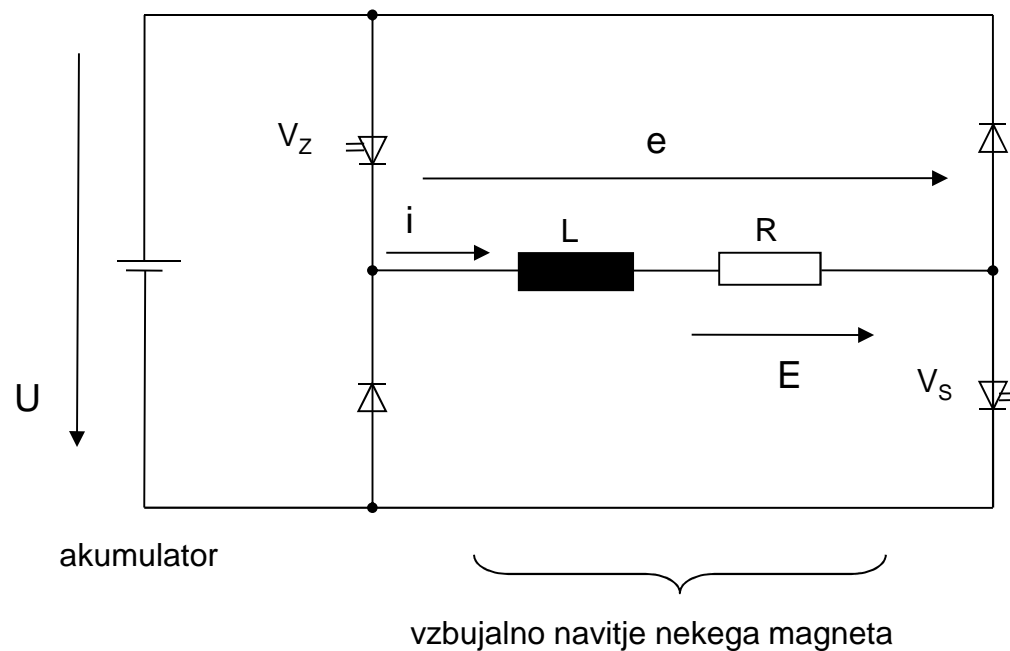
Slika 12.5

“Current mode”

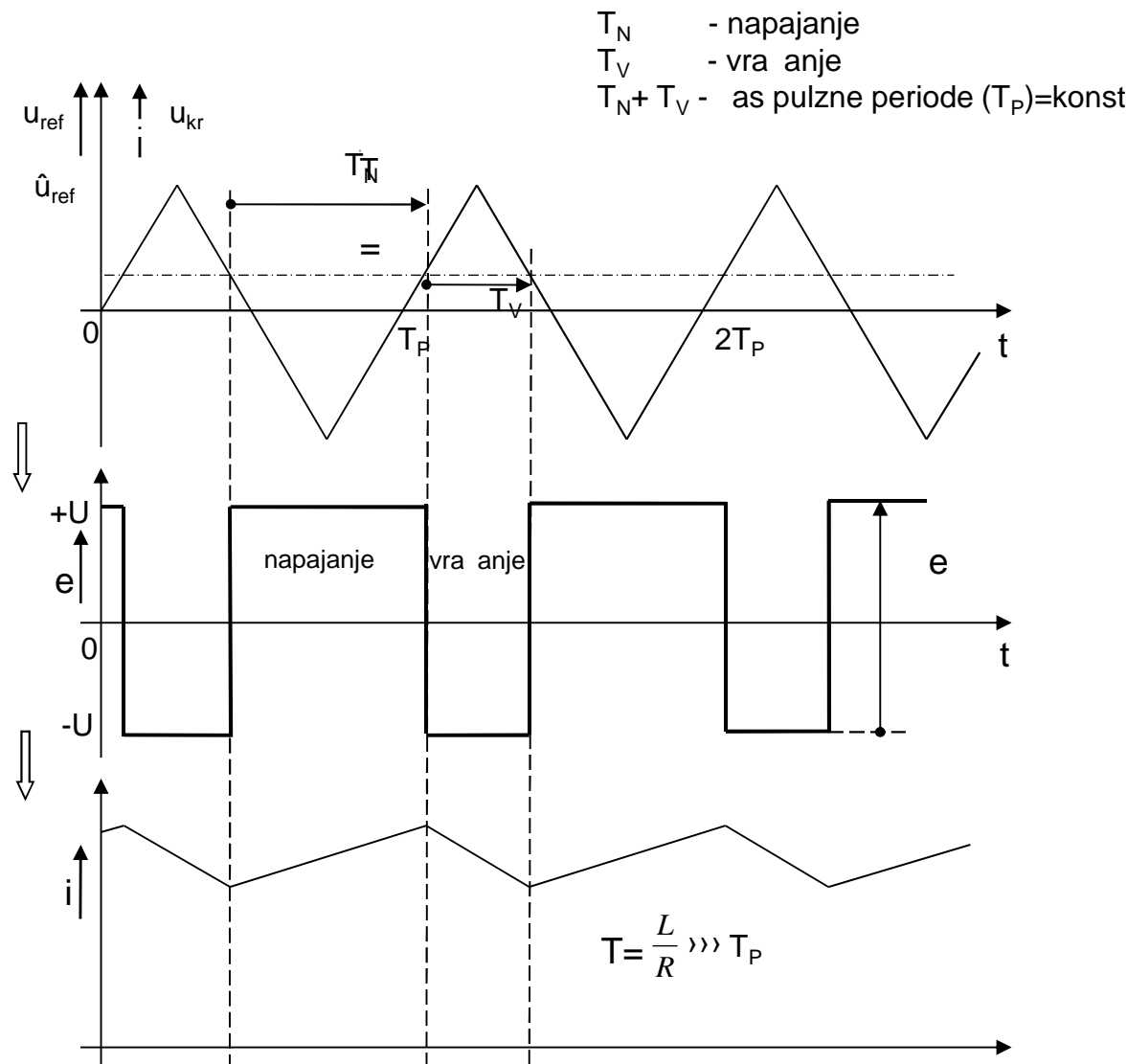
Slika 12.6



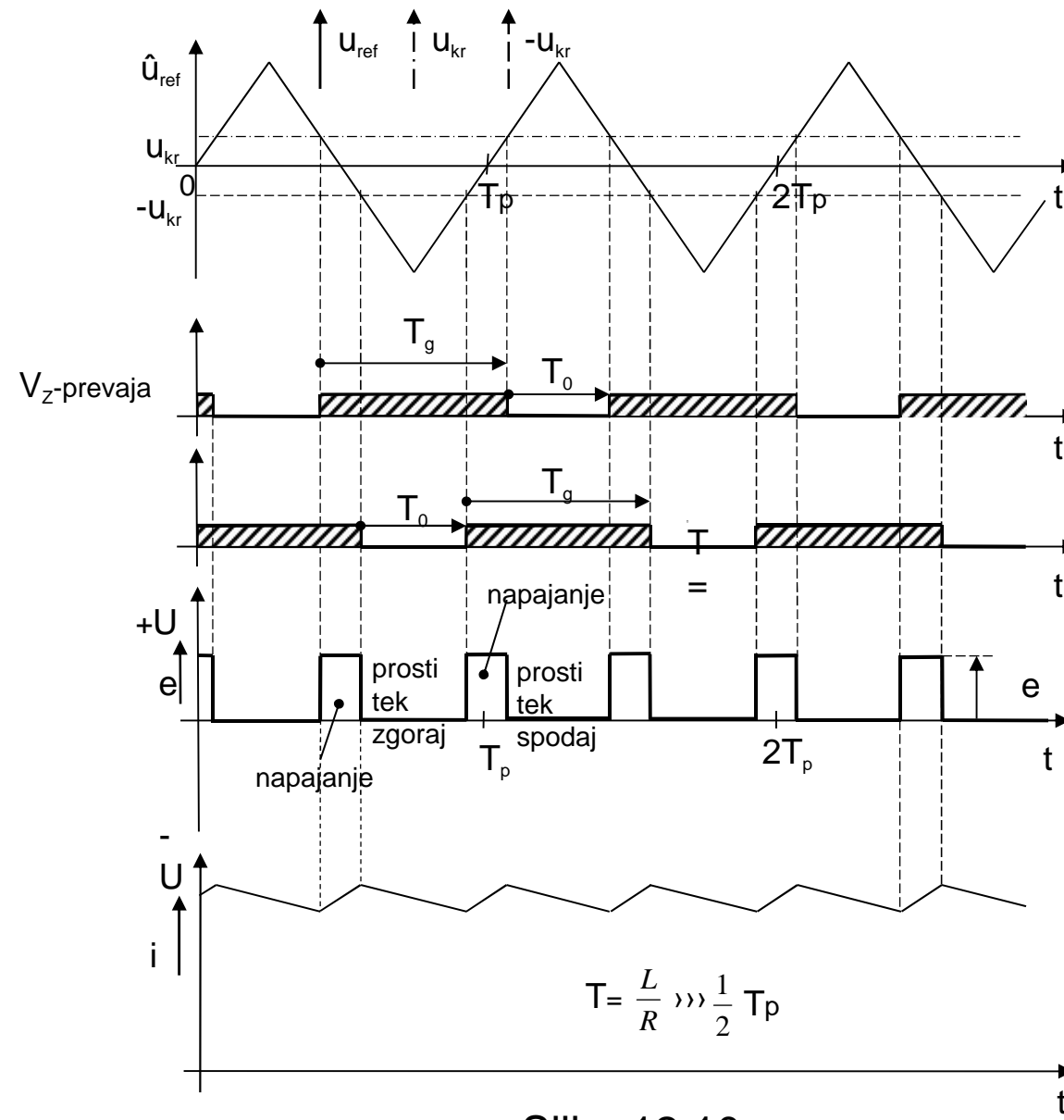
Slika 12.7



Slika 12.8



Slika 12.9



Slika 12.10